

OBJEDNATEL PD:

Krajská správa a údržba silnic Vysočiny, příspěvková organizace
Kosovská 1122/16
586 01 Jihlava 1

**Krajská správa a údržba
silnic Vysočiny**
příspěvková organizace








D
SO201

SOUŘADNICOVÝ SYSTÉM
VÝŠKOVÝ SYSTÉM

: S-JTSK
: Bpv

Handwritten signature

PDPS

VEDOUČÍ PROJEKTANT	Ing. Martin ŘEHULKA		 PRIS PROJEKČNÍ KANCELÁŘ PRIS spol. s r. o. OSO VÁ 20, 625 00 BRNO		
ZODPOVĚDNÝ PROJEKTANT	Ing. Rostislav OTEVŘEL				
VYPRACOVAL	Ing. Rostislav OTEVŘEL				
KONTROLOVAL	Ing. Jiří ŠRUBAŘ				
KRAJ	KRAJ VYSOČINA	INVESTOR	Kraj Vysočina, Žižkova 57, 587 33 Jihlava	DATUM	10/2020
NÁZEV AKCE III/12920 Leskovice - most ev.č. 12920-1 SO 201 Most ev. č. 12920-1				FORMÁT	A4
				MĚŘÍTKO	-
				ÚČEL	PDPS
				ČÍS. ZAKÁZKY	19131
NÁZEV OBJEKTU				ARCHIVNÍ ČÍS.	201_13_SV.pdf
NÁZEV PŘÍLOHY STATICKÝ VÝPOČET				ČÍS. SOUPRAVY	PŘÍLOHA 13

III/12920 Leskovice – most ev. č. 12920-1

PDPS

STATICKÝ VÝPOČET

0 Obsah

1 Úvod	
Předpisy a literatura	3
Použité programy	3
Materiály	3
Výpočtový model	4
Popis konstrukce mostu	5
2 Přehledné výkresy	
Půdorys mostu	6
Podélný řez mostem	7
Příčný řez mostem	8
3 Zatížení	
3.1. Stálá zatížení	9
3.2. Nahodilá zatížení	10
4 Předpětí	14
5 Podélný směr	15
6 Příčný směr	51
7 Stěna	55
8 Křídla	58
9 Posouzení mikropilot	61
10 Závěr	64

1 Úvod

PŘEDPISY A LITERATURA

ČSN EN 1991-1-1	Zatížení konstrukcí - Část 1-1: Obecná zatížení - Objemové tíhy, vlastní tíha a užitná zatížení pozemních staveb
ČSN EN 1991-1-5	Zatížení konstrukcí - Část 1-5: Obecná zatížení - Zatížení teplotou
ČSN EN 1991-2	Eurokód 1: Zatížení konstrukcí - Část 2: Zatížení mostů dopravou
ČSN EN 1992-2	Navrhování betonových konstrukcí - Část 2: Betonové mosty - Navrhování a konstrukční zásady

POUŽITÉ PROGRAMY

Scia Engineer 2010	- prostorový model konstrukce mostu
IDEA StatiCa	BEAM - vyhodnocení výrobních ztrát a účinků předpětí RCS - posudky

MATERIÁLY

BETON

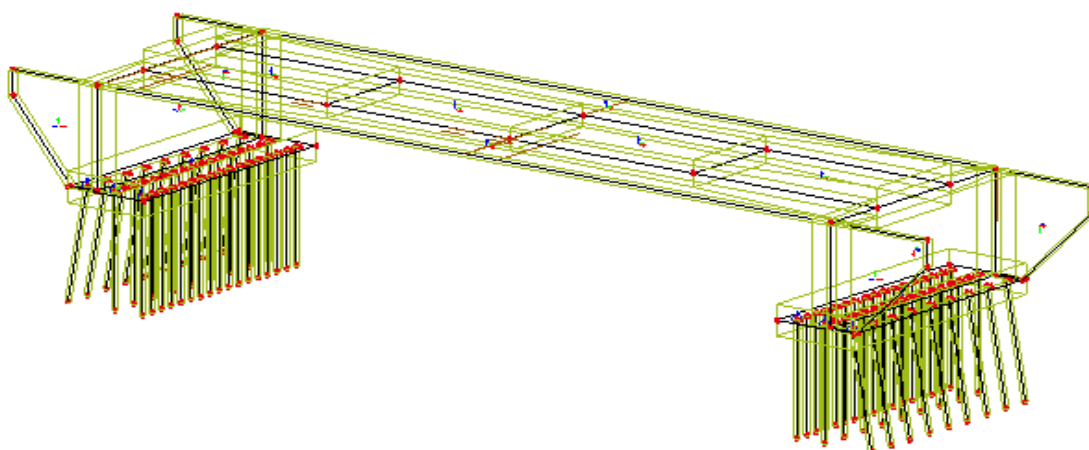
Základy	C 30/37
Křídla	C 30/37
Předpjatý rám	C 35/45

BETONÁŘSKÁ VÝZTUŽ	B 500B
--------------------------	--------

PŘEDPÍNACÍ VÝZTUŽ	Y1860
--------------------------	-------

VÝPOČTOVÝ MODEL

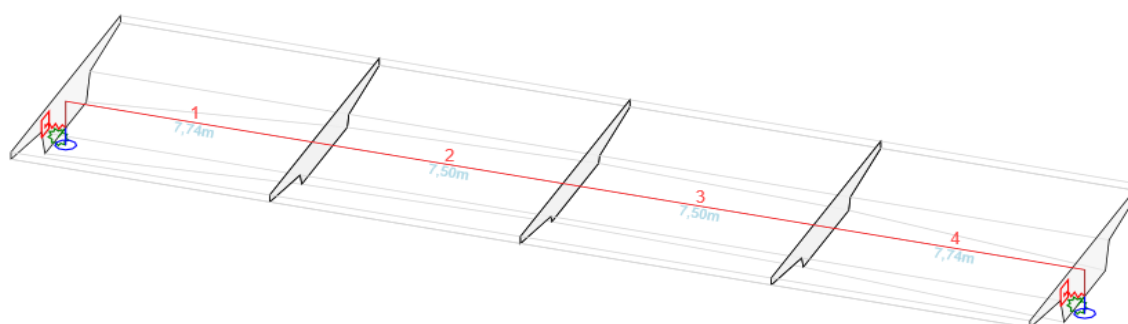
(SCIA - deskový model)



VÝPOČTOVÝ MODEL

(IDEA - monolitický dodtečně předpjatý nosník 3D)

3D model structure



POPIS KONSTRUKCE MOSTU

Nově navržený most se nachází v intravilánu obce a odpovídá tak příčnému uspořádání místní komunikaci typu MO2k 9,0/7,5/50 a plynule navazuje na stávající silnici III. třídy. Celková délka úpravy komunikace je 64 m. Půdorysně je upravovaná část komunikace v přímé. Šířka mezi záchytným zařízením (ocelové zábradlí) je 9 m.

Výškově je úprava komunikace napojena na stávající stav před a za mostem. Most se nachází ve vrcholovém oblouku o poloměru 700 m se sklony tečen +2,2% a -2,4%.

Nový most má délku přemostění 30 m, výšku cca 6,27 m nad I/19, šířka mostu je 9,6 m, šířka mezi obrubami na mostě je 6,5 m.

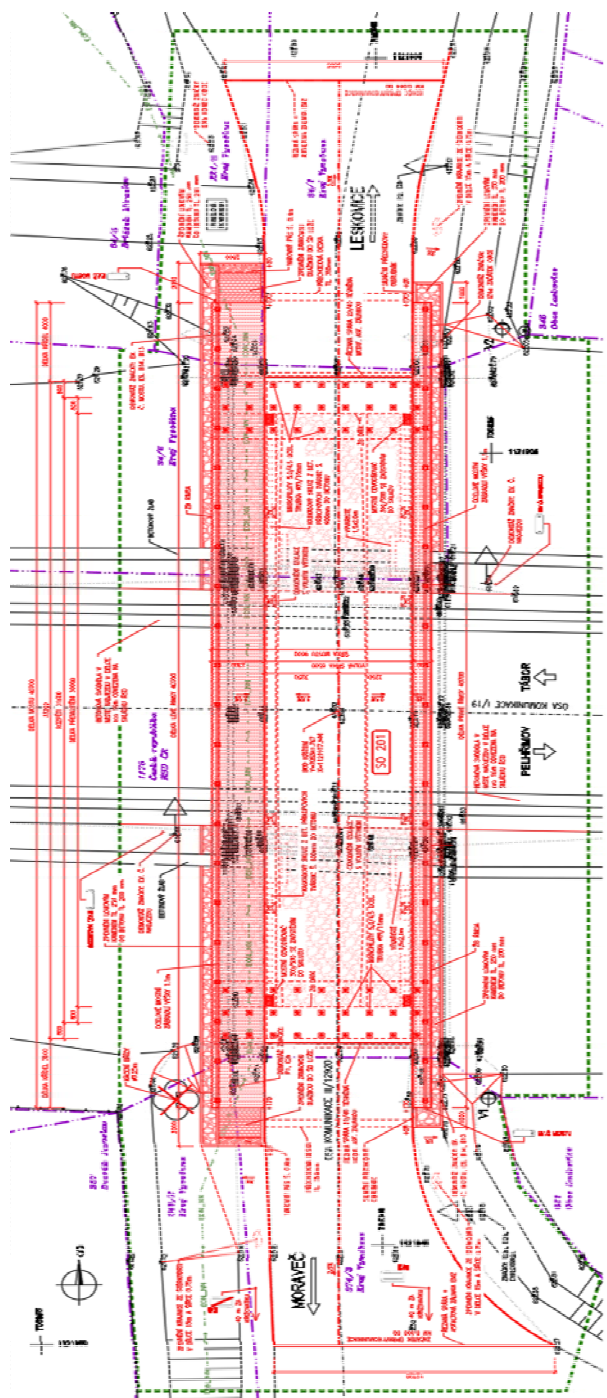
Most je založen hlubině na vrtaných mikropilotách vetknutých do skalního podloží R3.

Mikropiloty jsou vetknuty do základu, na který navazují ŽB dříky se zavěšenými křídly.

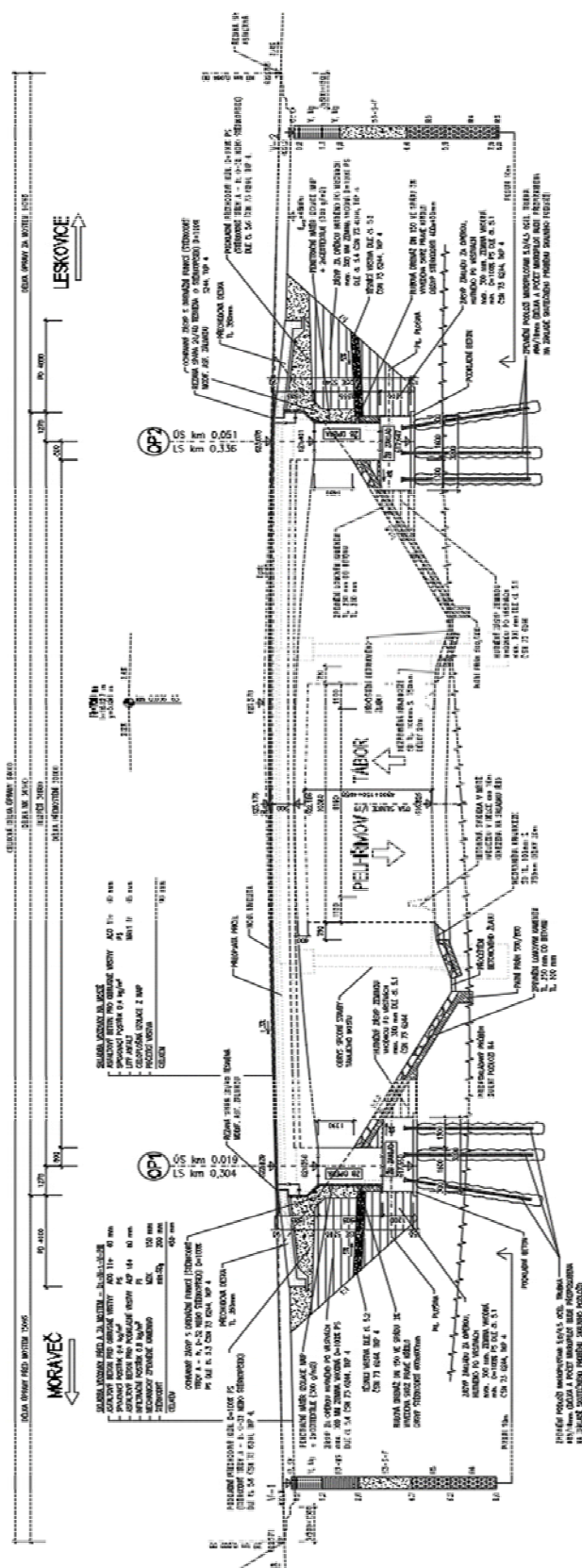
Předpjatou příčel tvoří náběhovaný trám s tloušťkou 0,9 m uprostřed rozpětí a 1,6 m ve vetknutí do dříků. Délka nosné konstrukce je 34,14 m.

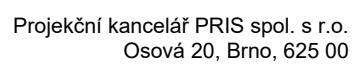
2 Přehledné výkresy

PŮDORYS



PODÉLNÝ ŘEZ





3 Zatížení

3.1. STÁLÁ ZATÍŽENÍ

3.1.1. VLASTNÍ TÍHA NOSNÉ KONSTRUKCE

Objemová tíha materiálu
(generováno programem IDEA)

$$\gamma_z = 26.0 \text{ kN/m}^3$$

3.1.2. ZATÍŽENÍ OSTATNÍ STÁLÉ

3.1.2.1. Vozovka

Objemová tíha materiálu
Tloušťka vrstvy
Svislé rovnoměrné zatížení
Zvětšení o 20% zatížení vozovkou:

$$\gamma_z = 24.0 \text{ kN/m}^3$$

$$h = 0.090 \text{ m}$$

$$\sigma_s = 2.2 \text{ kN/m}^2$$

$$\sigma_s = 2.6 \text{ kN/m}^2$$

3.1.2.2. Římsa

Objemová tíha materiálu
Plocha levé římsy
Šířka NK pod římsou
Svislé rovnoměrné zatížení

$$\gamma_z = 25.0 \text{ kN/m}^3$$

$$A_b = 0.640 \text{ m}^2$$

$$\bar{s} = 2.000 \text{ m}$$

$$\sigma_s = 8.0 \text{ kN/m}^2$$

Plocha pravé římsy
Šířka NK pod římsou
Svislé rovnoměrné zatížení

$$A_b = 0.290 \text{ m}^2$$

$$\bar{s} = 0.500 \text{ m}$$

$$\sigma_s = 14.5 \text{ kN/m}^2$$

3.1.2.3. Zábradlí a svodidla

Liniové zatížení zábradlím:

$$q = 1.00 \text{ kN/m}$$

3.2. NAHODILÁ ZATÍŽENÍ

3.2.1. DOPRAVA

3.2.1.1. Sestava gr1a

LM1 (regulováno pro Skupinu 1 pozemních komunikací)

Model zatížení LM1 se skládá ze dvou dílčích soustav:

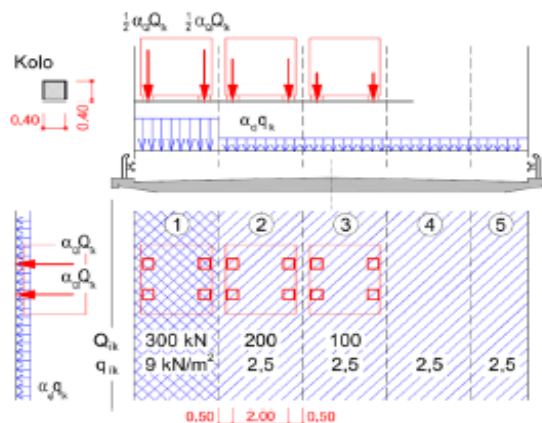
- soustředěné zatížení od dvojnápravy (TS), každá náprava o tíze $\alpha_Q Q_k$,
- rovnoměrné zatížení (UDL) o velikosti $\alpha_q q_k$ (pouze v nepříznivých částech příčinkových ploch).

V zatěžovacím pruhu pouze jedna kompletní dvojnáprava, která se pohybuje v ose pruhu pro celkové ověření.

Lokálně může jet mino osu pruhu.

Každé kolo nápravy vyvoluje zatížení $0,5 \alpha_Q Q_k$.

Kontaktní plocha kola $0,4 \times 0,4$ m.



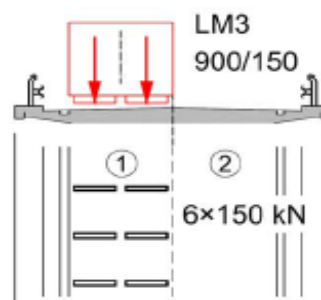
HODNOTY REGULAČNÍCH SOUČINITELŮ α PRO ČR

skupina pozemních komunikací	α_{Q1}	α_{Q2}	α_{Q3}	α_{q1}	α_{q2}	$\alpha_{qi} (i>2)$ a α_{qr}
1	1.0	1.0	1.0	1.0	2.4	1.2
2	0.8	0.8	0.8	0.45 ¹⁾	1.6	1.6

Popis	Charakterist.	Regulace	Regulované hodnoty
Q_1	300	1.0	300 kN/náprava
Q_2	200	1.0	200 kN/náprava
q_1	9.0	1.00	9.0 kN/m ²
q_2	2.5	2.4	6.0 kN/m ²

3.2.1.2. Sestava gr5**ZVLÁŠTNÍ VOZIDLA PRO SILNICE III. TŘÍDY (PK SKUPINY 1)**

Označení, celková tíha	900/150, 900 kN
Umístění zatížení	Zvláštní vozidlo se pohybuje v prostoru zatěžovacích pruhů.
Kombinace zatížení	Po celé délce mostu musí být vyloučena veškerá ostatní doprava.
Rychlost	Normální (≤ 70 km/hod)
Dynamický součinitel	$\phi = 1.25$
Poznámka	Jedná se o jedinné vozidlo na mostě.



$$\begin{array}{lcl} \text{kontaktní plocha kola} & 1.20 & \times \quad 0.15 \quad = \quad 0.180 \\ \text{dynamický součinitel} & & \phi = \quad 1.25 \end{array}$$

Umístění	počet kol	Jedna náprava (TS)
		[kN/m ²]
V ose jízdního pruhu	6x	520.8

3.2.2. TEPLOTA

Typ konstrukce: 3

Součinitel tepelné roztažnosti betonu $\alpha = 10 \cdot 10^{-6} / ^\circ\text{C}$ **3.2.2.1. Rovnoměrná složka teploty**Maximální teplota vzduchu ve stínu $T_{\max} = 38.0 \text{ } ^\circ\text{C}$ Minimální teplota vzduchu ve stínu $T_{\min} = -34 \text{ } ^\circ\text{C}$ Maximální teplota mostu ve stínu $T_{e,\max} = T_{\max} + 1,5 = 39.5 \text{ } ^\circ\text{C}$ Minimální teplota mostu ve stínu $T_{e,\min} = T_{\min} + 8 = -26 \text{ } ^\circ\text{C}$ Výchozí teplota mostu $T_0 = 10.0 \text{ } ^\circ\text{C}$

Charakteristické hodnoty:

- prodloužení $\Delta T_{N,\exp} = T_{e,\max} + T_0 = 29.5 \text{ } ^\circ\text{C}$ - zkrácení $\Delta T_{N,\text{con}} = T_0 + T_{e,\min} = -36.0 \text{ } ^\circ\text{C}$ **3.2.2.2. Nerovnoměrná složka teploty**

Charakteristické hodnoty linerárních rozdílů teplot pro svršek tloušťky 100mm

 $\Delta T_{M,\text{heat}} = 15.0 \text{ } ^\circ\text{C}$ $\Delta T_{M,\text{cool}} = 8.0 \text{ } ^\circ\text{C}$ Tloušťka mostního svršku $t = 0.090 \text{ mm}$ Součinitele pro $t=90\text{mm}$ $k_{\text{sur,heat}} = 0.7 -$ $k_{\text{sur,cool}} = 1.0 -$

Charakteristické hodnoty lineárních rozdílů teplot pro svršek tloušťky 90mm

 $\Delta T_{M,\text{heat}} \cdot k_{\text{sur,heat}} = 10.5 \text{ } ^\circ\text{C}$ $\Delta T_{M,\text{cool}} \cdot k_{\text{sur,cool}} = 8.0 \text{ } ^\circ\text{C}$ $\omega_N = 0.35 -$ $\omega_M = 0.75 -$ **3.2.2.3. Současné působení obou složek teploty** $\Delta T_{M,\text{heat}} + \omega_N \cdot \Delta T_{N,\exp} \quad 10.5 + 0.35 \cdot 29.5 = 20.8 \text{ } ^\circ\text{C}$ $\Delta T_{M,\text{cool}} + \omega_N \cdot \Delta T_{N,\text{con}} \quad 8 + 0.35 \cdot -36 = -4.6 \text{ } ^\circ\text{C}$ $\omega_M \cdot \Delta T_{M,\text{heat}} + \Delta T_{N,\exp} \quad 0.75 \cdot 10.5 + 29.5 = 37.4 \text{ } ^\circ\text{C}$ $\omega_M \cdot \Delta T_{M,\text{cool}} + \Delta T_{N,\text{con}} \quad 0.75 \cdot 8 + -36 = -30.0 \text{ } ^\circ\text{C}$

3.2.3. VODOROVNÁ zatížení

3.2.3.1. BRZDNÉ A ROZJEZDOVÉ SÍLY

Brzdná síla Q_{lk} se musí uvažovat jako podélná síla působící v úrovni povrchu vozovky.

Působí v ose kteréhokoliv zatěžovacího pruhu.

Pokud nejsou účinky excentricity významné, předpokládá se působiště v ose vozovky, a rovnoměrné rozdělení po zatěžovací délce.

Charakteristická hodnota Q_{lk} se počítá jako část celkového max. svislého zatížení LM1 na zatěžovacím pruhu č. 1:

Pro LM1

$$\begin{aligned}
 L &= 34.140 \text{ m} && \dots \text{ délka NK nebo její uvažované části} \\
 \alpha_{Q1} &= 1.0 && \dots \text{ dle ČSN EN 1991-2/NA ... tabulka NA.2.1} \\
 \alpha_{q1} &= 1.0 && \dots \text{ dle ČSN EN 1991-2/NA ... tabulka NA.2.1} \\
 Q_{1k} &= 300.0 \text{ kN} && \dots \text{ dle ČSN EN 1991-2 pro LM1} \\
 q_{1k} &= 9.0 \text{ kN/m}^2 && \dots \text{ dle ČSN EN 1991-2 pro LM1} \\
 w_l &= 3.000 \text{ m} && \dots \text{ šířka pruhu}
 \end{aligned}$$

$$\begin{aligned}
 Q_{lk} &= \underline{452.2} \text{ kN} && \dots = 0,6 \cdot \alpha_{Q1} \cdot (2 \cdot Q_{1k}) + 0,10 \cdot \alpha_{q1} \cdot q_{1k} \cdot w_l \cdot L \\
 &\geq 180 \cdot \alpha_{Q1} = 180 \text{ kN} && \text{Vyhovuje} \\
 &\leq 900 \text{ kN} && \text{Vyhovuje}
 \end{aligned}$$

Pro LM3

$$\begin{aligned}
 L &= 34.140 \text{ m} && \dots \text{ délka NK nebo její uvažované části} \\
 \alpha_{Q1} &= 1.0 && \dots \text{ dle ČSN EN 1991-2/NA ... tabulka NA.2.1} \\
 Q_{LM3} &= 1800.0 \text{ kN} && \dots \text{ dle ČSN EN 1991-2 pro LM3}
 \end{aligned}$$

$$\begin{aligned}
 Q_{lk} &= 1080.0 \text{ kN} && \dots = 0,6 \cdot Q_{LM3} \\
 &\geq 180 \cdot \alpha_{Q1} = 180 \text{ kN} && \text{Vyhovuje} \\
 &\leq 600 \text{ kN} && \text{Nevyhovuje}
 \end{aligned}$$

$$Q_{lk} = \underline{600.0} \text{ kN}$$

... dle ČSN EN 1991-2/NA ... NA2.17

3.2.3.2. PŘÍČNÉ SÍLY

Most je v přímé, proto nejsou uvažovány odstředivé síly.

Současně s působením brzných a rozjezdových sil jsou uvažovány boční síly vznikající při šikmém brždění nebo smyku

$$Q_{trk} = 0,25 \cdot Q_{lk}$$

$$Q_{trk} (LM1) = \underline{150.0} \text{ kN}$$

4 Předpětí

Výpočtové hodnoty:

$$f_{pk} = 1860 \text{ MPa}$$

$$f_{p0,1k} = 1640 \text{ MPa}$$

$$\sigma_{pa,max} = \min \{ 0.75 \cdot f_{pk} ; 0.85 \cdot f_{p0,1k} \}$$

$$= 1394 \text{ MPa}$$

$$A_{p1} = 150 \text{ mm}^2 \quad (\text{lana Y1860S7-15.7})$$

$$P_{a1} = 209.1 \text{ kN}$$

Předpínáno z jednoho konce.

Kotevní napětí kabelů 1440 Mpa.

11 kabelů s 19-ti lany Ø15.7 - Y1860 S7

Projekt:

Číslo projektu:

Autor:

5 Podélný směr

Obsah

- 1 Data projektu
- 2 Průřezy
- 3 Materiál
- 4 Geometrie
- 5 Zatěžovací stavy
- 6 Zatížení
- 7 Kombinace zatížení
- 8 Fáze výstavby
- 9 Výsledky
- 10 Posouzení betonu

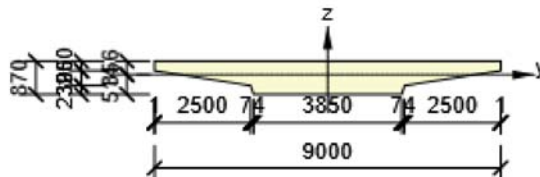
1 Data projektu

Název projektu	
Číslo projektu	
Autor	
Popis	
Datum	30.10.2019
Národní norma	EN
Národní příloha	Česká
Typ nosníku	Monolitický dodatečně předpjatý betonový nosník
Most	Silniční most

2 Průřezy

4. Uprostřed rozpětí(T tvar 870, 9000)

Symbol	Hodnota	Jednotka	
Materiál	C35/45		
A	5686740	[mm ²]	
S _y	0	[mm ³]	
S _z	0	[mm ³]	
I _y	319834481531	[mm ⁴]	
I _z	26582961117660	[mm ⁴]	
C _{gy}	0	[mm]	
C _{gz}	0	[mm]	
i _y	237	[mm]	
i _z	2162	[mm]	



5. 1/3 rozpětí(T tvar 1040, 9000)

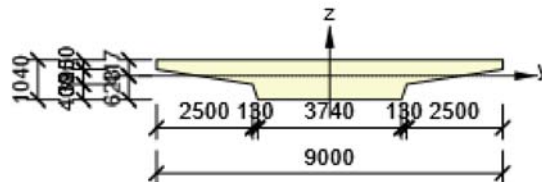
Symbol	Hodnota	Jednotka	
--------	---------	----------	--

Projekt:
Číslo projektu:
Autor:

Příloha: Statický výpočet

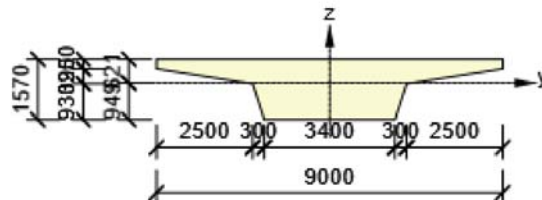


Symbol	Hodnota	Jednotka	
Materiál	C35/45		
A	6333000	[mm ²]	
S _y	0	[mm ³]	
S _z	0	[mm ³]	
I _y	528821011286	[mm ⁴]	
I _z	27367325200000	[mm ⁴]	
C _{gy}	0	[mm]	
C _{gz}	0	[mm]	
i _y	289	[mm]	
i _z	2079	[mm]	



6. Vetknutí(T tvar 1570, 9000)

Symbol	Hodnota	Jednotka	
Materiál	C35/45		
A	8226000	[mm ²]	
S _y	0	[mm ³]	
S _z	0	[mm ³]	
I _y	1710440493107	[mm ⁴]	
I _z	29384540000000	[mm ⁴]	
C _{gy}	0	[mm]	
C _{gz}	0	[mm]	
i _y	456	[mm]	
i _z	1890	[mm]	



3 Materiál

Beton

Název	f _{ck} [MPa]	f _{cm} [MPa]	f _{ctm} [MPa]	E _{cm} [MPa]	μ [-]	Jednotková hmotnost [kg/m ³]
C35/45	35,0	43,0	3,2	34077,1	0,20	2500
ε _{c2} = 20,0 1e-4, ε _{cu2} = 35,0 1e-4, ε _{c3} = 17,5 1e-4, ε _{cu3} = 35,0 1e-4, Exponent - n: 2,00, Rozměr zrna kameniva = 16 mm, Třída cementu: R (s = 0,20), Typ diagramu: Parabolický						

Projekt:
Číslo projektu:
Autor:

Příloha: Statický výpočet



Výztuž

Název	f_{yk} [MPa]	f_{tk} [MPa]	E [MPa]	μ [-]	Jednotková hmotnost [kg/m ³]
B 500B	500,0	540,0	200000,0	0,20	7850
$f_{tk}/f_{yk} = 1,08$, $\epsilon_{uk} = 500,0 \cdot 10^{-4}$, Typ: Vložky, Povrch výztuže: Žebírkový, Třída: B, Výroba: Za tepla válcovaná, Typ diagramu: Bilineární se stoupající horní větví					

Předpínací výztuž

Název	f_{pk} [MPa]	f_{p01k} [MPa]	E [MPa]	μ [-]	Jednotková hmotnost [kg/m ³]
Y1860S7-15.7	1860,0	1640,0	195000,0	0,15	7850
$F_m = 279,0$ kN, $F_{p01} = 245,5$ kN, $F_r = 190,0$ MPa, $\rho_{1000} = 0,03$, $\rho_{\infty} = 0,06$, $\Phi = 16$ mm, Plocha = 150 mm ² , $\epsilon_{uk} = 350,0 \cdot 10^{-4}$, $A_{gt} = 350,0 \cdot 10^{-4}$, Typ: Lano Povrchová úprava: Povrch hladký, Třída relaxace: Třída 2, Výroba: Lano s nízkou relaxací, Typ diagramu: Bilineární se stoupající horní větví, Počet drátů: 7					

4 Geometrie

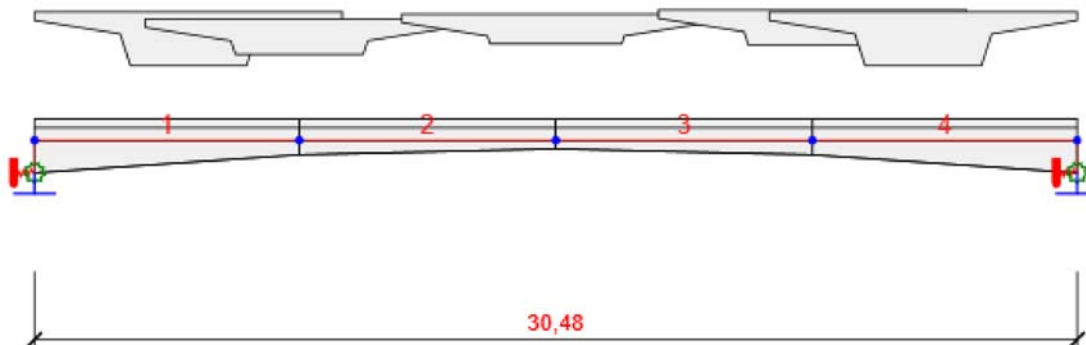


Schéma konstrukce

Směry zatížení a okrajové podmínky nemusí v rozvinutém pohledu souhlasit se skutečnými směry ve 3D

Prvky

Prvek	Délka [m]	Delta X [m]	Delta Y [m]	Průřez
1	7,74	7,74	0,00	6 - Vetknutí (T tvar 1570, 9000)
2	7,50	7,50	0,00	4 - Uprostřed rozpětí (T tvar 870, 9000)
3	7,50	7,50	0,00	4 - Uprostřed rozpětí (T tvar 870, 9000)
4	7,74	7,74	0,00	6 - Vetknutí (T tvar 1570, 9000)

Projekt:
Číslo projektu:
Autor:

Příloha: Statický výpočet



Náběhy

Prvek	Typ	Průřez na levém konci	Délka vlevo [m]	Průřez na pravém konci	Délka vpravo [m]
1	Pravý konec			1/3 rozpětí (T tvar 1040, 9000)	7,74
2	Levý konec	1/3 rozpětí (T tvar 1040, 9000)	7,50		
3	Pravý konec			1/3 rozpětí (T tvar 1040, 9000)	7,50
4	Levý konec	1/3 rozpětí (T tvar 1040, 9000)	7,74		

Uzly

Uzel	X [m]	Y [m]	Z [m]	Podpora
1	0,00	0,00	0,00	XYZRxRy
2	7,74	0,00	0,00	
3	15,24	0,00	0,00	
4	22,74	0,00	0,00	
5	30,48	0,00	0,00	XYZRxRy

Tuhosti podpory

Uzel	Kx [MN/m]	Ky [MN/m]	Kz [MN/m]	Krx [MNm/rad]	Kry [MNm/rad]	Krz [MNm/rad]
1	1000,0	10000000,0	100000000,0	10000000,0	8000,0	
5	1000,0	10000000,0	100000000,0	10000000,0	8000,0	

5 Zatěžovací stavy

Jméno	Typ	Fáze	Skupina zatížení	Zatížení [kN/m]
SW (2)	Stálé	2	LG1	0,0
R (2)	Stálé	2	LG1	0,0
G (2)	Stálé	2	LG1	0,0
POST (2)	Stálé	2	LG1	0,0
R (5)	Stálé	5	LG1	0,0
OS (5)	Stálé	5	LG1	-42,1
R (6)	Stálé	6	LG1	0,0
G (6)	Stálé	6	LG1	0,0
Tner-	Proměnné		Teplotní - Tk	0,0
Tner+	Proměnné		Teplotní - Tk	0,0
UDL	Proměnné		gr1a - UDL	0,0
TS.1	Proměnné		gr1a - TS	0,0
TS.2	Proměnné		gr1a - TS	0,0
LM3.1	Proměnné		gr5 - Zvláštní vozidla	0,0
LM3.2	Proměnné		gr5 - Zvláštní vozidla	0,0

Skupiny stálých zatížení

Jméno	YG, sub [-]	YG, inf [-]	ξ [-]
LG1	1,35	1,00	0,85

Projekt:
Číslo projektu:
Autor:

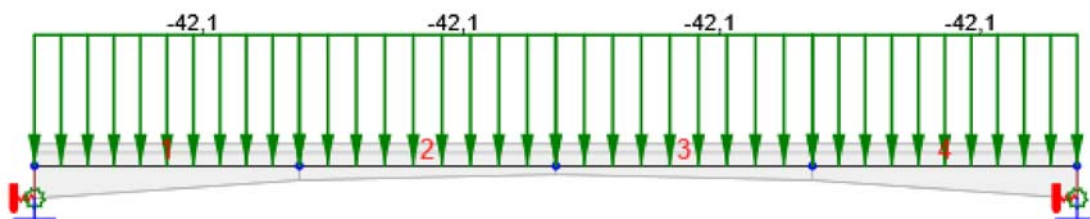
Příloha: Statický výpočet



Skupiny proměnných zatížení

Jméno	Typ	Zatížení	γ_q [-]	ψ_0 [-]	ψ_1 [-]	ψ_2 [-]
gr1a - UDL	Výběrová	gr1a - UDL	1,35	0,40	0,40	0,00
gr1a - TS	Výběrová	gr1a - TS	1,35	0,75	0,75	0,00
gr1a - chodci a cyklisti	Výběrová	gr1a - chodci a cyklisti	1,35	0,40	0,40	0,00
gr1b - jednotlivá náprava	Výběrová	gr1b - jednotlivá náprava	1,35	0,00	0,75	0,00
gr2 - Vodorovné síly	Výběrová	gr2 - Vodorovné síly	1,35	0,00	0,00	0,00
gr3 - Zatížení chodci	Výběrová	gr3 - Zatížení chodci	1,35	0,00	0,40	0,00
gr4 - Zatížení davem lidí	Výběrová	gr4 - Zatížení davem lidí	1,35	0,00	0,00	0,00
gr5 - Zvláštní vozidla	Výběrová	gr5 - Zvláštní vozidla	1,35	0,00	0,00	0,00
Fwk - Stálé	Výběrová	Fwk - Stálé	1,50	0,60	0,20	0,00
Fwk - provádění	Výběrová	Fwk - provádění	1,50	0,80	0,00	0,00
F**W - Návrh	Výběrová	F**W - Návrh	1,50	1,00	0,00	0,00
Teplotní - Tk	Výběrová	Teplotní - Tk	1,50	0,60	0,60	0,50
QSn,k - provádění	Výběrová	QSn,k - provádění	1,50	0,80	0,00	0,00
Provádění - Qc	Výběrová	Provádění Qc	1,50	1,00	0,00	1,00

6 Zatížení



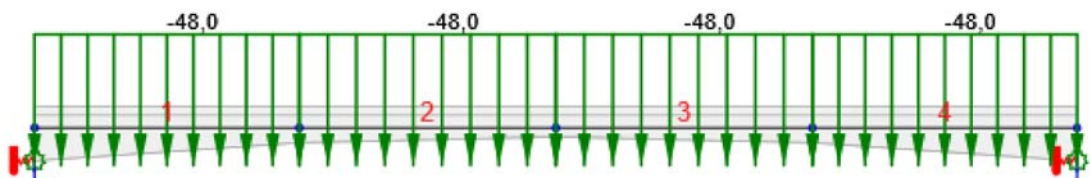
Zatěžovací stav OS (5)

Projekt:
Číslo projektu:
Autor:

Příloha: Statický výpočet



Zatěžovací stav UDL



Zatěžovací stav UDL

Rovnoměrná zatížení

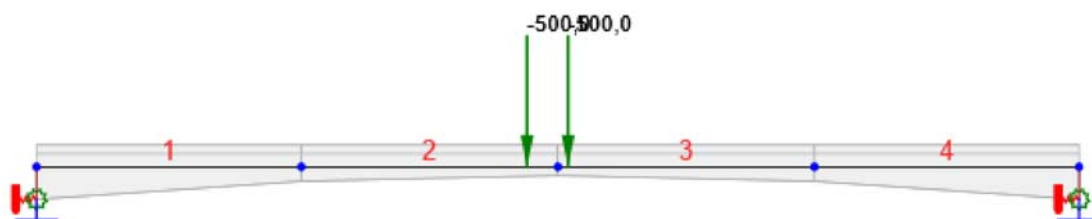
Prvek	Velikost [kN/m]	Směr	Umístění	Ey začátek [m]	Ey konec [m]	Ez začátek [m]	Ez konec [m]
3	-48,0	Globální Z	Délka	-1,08	-1,08	0,00	0,00
4	-48,0	Globální Z	Délka	-1,08	-1,08	0,00	0,00
2	-48,0	Globální Z	Délka	-1,08	-1,08	0,00	0,00
1	-48,0	Globální Z	Délka	-1,08	-1,08	0,00	0,00

Projekt:
Číslo projektu:
Autor:

Příloha: Statický výpočet



Zatěžovací stav TS.1



Zatěžovací stav TS.1

Bodová silová zatížení

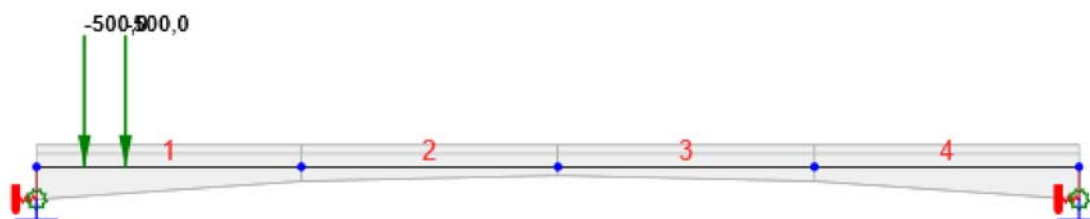
Prvek	Velikost [kN]	X [m]	Poloha	Směr	Ey [m]	Ez [m]
2	-500,0	6,60	X	Globální Z	-1,20	0,00
3	-500,0	0,30	X	Globální Z	-1,20	0,00

Projekt:
Číslo projektu:
Autor:

Příloha: Statický výpočet



Zatěžovací stav TS.2



Zatěžovací stav TS.2

Bodová silová zatížení

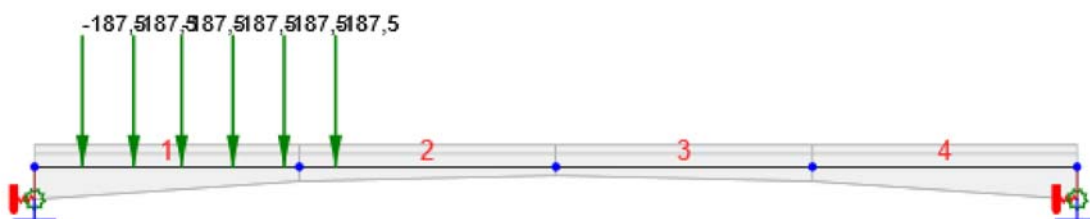
Prvek	Velikost [kN]	X [m]	Poloha	Směr	Ey [m]	Ez [m]
1	-500,0	1,40	X	Globální Z	-1,20	0,00
1	-500,0	2,60	X	Globální Z	-1,20	0,00

Projekt:
Číslo projektu:
Autor:

Příloha: Statický výpočet



Zatěžovací stav LM3.1



Zatěžovací stav LM3.1

Bodová silová zatížení

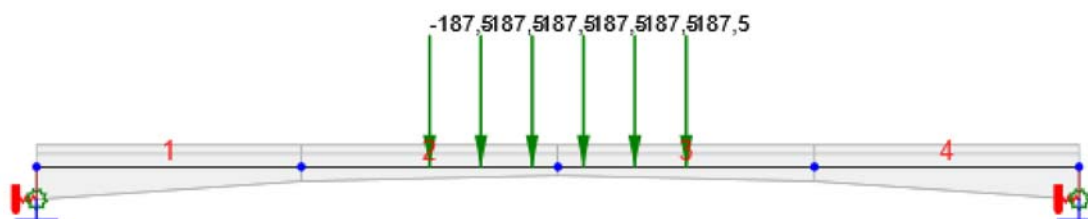
Prvek	Velikost [kN]	X [m]	Poloha	Směr	Ey [m]	Ez [m]
1	-187,5	1,40	X	Globální Z	-2,50	0,00
1	-187,5	2,90	X	Globální Z	-2,50	0,00
1	-187,5	4,30	X	Globální Z	-2,50	0,00
1	-187,5	5,80	X	Globální Z	-2,50	0,00
1	-187,5	7,30	X	Globální Z	-2,50	0,00
2	-187,5	1,06	X	Globální Z	-2,50	0,00

Projekt:
Číslo projektu:
Autor:

Příloha: Statický výpočet

IDEA StatiCa®
Calculate yesterday's estimates

Zatěžovací stav LM3.2



Zatěžovací stav LM3.2

Bodová silová zatížení

Prvek	Velikost [kN]	X [m]	Poloha	Směr	Ey [m]	Ez [m]
2	-187,5	3,75	X	Globální Z	-2,50	0,00
2	-187,5	5,25	X	Globální Z	-2,50	0,00
2	-187,5	6,75	X	Globální Z	-2,50	0,00
3	-187,5	0,75	X	Globální Z	-2,50	0,00
3	-187,5	2,25	X	Globální Z	-2,50	0,00
3	-187,5	3,75	X	Globální Z	-2,50	0,00

7 Kombinace zatížení

Jméno	Typ	Fáze	Vyhodnocení
MSÚZ ST(2)	MSÚ základní	2	Eurokód, vzorec 6.10 a,b
SW (2); R (2); G (2); POST (2)			
MSPCh ST(2)	MSP char	2	Eurokód, vzorec 6.14b
SW (2); R (2); G (2); POST (2)			
MSPČ ST(2)	MSP častá	2	Eurokód, vzorec 6.15b
SW (2); R (2); G (2); POST (2)			
MSPK ST(2)	MSP kvazi	2	Eurokód, vzorec 6.16b
SW (2); R (2); G (2); POST (2)			
MSÚZ ST(5)	MSÚ základní	5	Eurokód, vzorec 6.10 a,b
SW (2); R (2); G (2); POST (2); R (5); OS (5); Tner-; Tner+			
MSPCh ST(5)	MSP char	5	Eurokód, vzorec 6.14b

Projekt:
Číslo projektu:
Autor:

Příloha: Statický výpočet



Jméno	Typ	Fáze	Vyhodnocení
SW (2); R (2); G (2); POST (2); R (5); OS (5); Tner-; Tner+			
MSPČ ST(5)	MSP častá	5	Eurokód, vzorec 6.15b
SW (2); R (2); G (2); POST (2); R (5); OS (5); Tner-; Tner+			
MSPK ST(5)	MSP kvazi	5	Eurokód, vzorec 6.16b
SW (2); R (2); G (2); POST (2); R (5); OS (5); Tner-; Tner+			
MSÚZ ST(6)	MSÚ základní	6	Eurokód, vzorec 6.10 a,b
SW (2); R (2); G (2); POST (2); R (5); OS (5); R (6); G (6); Tner-; Tner+; UDL; TS.1; TS.2; LM3.1; LM3.2			
MSPCh ST(6)	MSP char	6	Eurokód, vzorec 6.14b
SW (2); R (2); G (2); POST (2); R (5); OS (5); R (6); G (6); Tner-; Tner+; UDL; TS.1; TS.2; LM3.1; LM3.2			
MSPČ ST(6)	MSP častá	6	Eurokód, vzorec 6.15b
SW (2); R (2); G (2); POST (2); R (5); OS (5); R (6); G (6); Tner-; Tner+; UDL; TS.1; TS.2; LM3.1; LM3.2			
MSPK ST(6)	MSP kvazi	6	Eurokód, vzorec 6.16b
SW (2); R (2); G (2); POST (2); R (5); OS (5); R (6); G (6); Tner-; Tner+			

8 Fáze výstavby

	Jméno	Čas [d]
1	Betonáž	0,0
2	Dodatečné předpínání	10,0
5	Ostatní stálé zatížení	100,0
6	Konec návrhové životnosti	36500,0

9 Výsledky

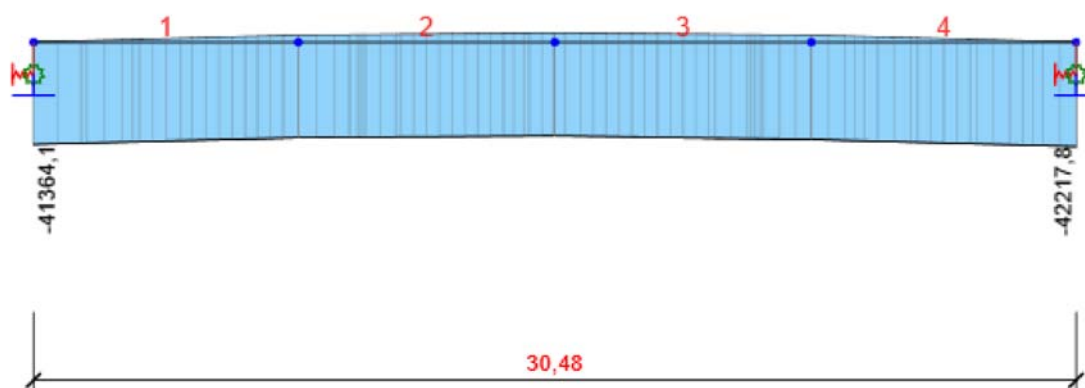
Upozornění: Pro výpočet časové analýzy se používá tečnový modul pružnosti E_c podle článku 3.1.4(2)

Projekt:
Číslo projektu:
Autor:

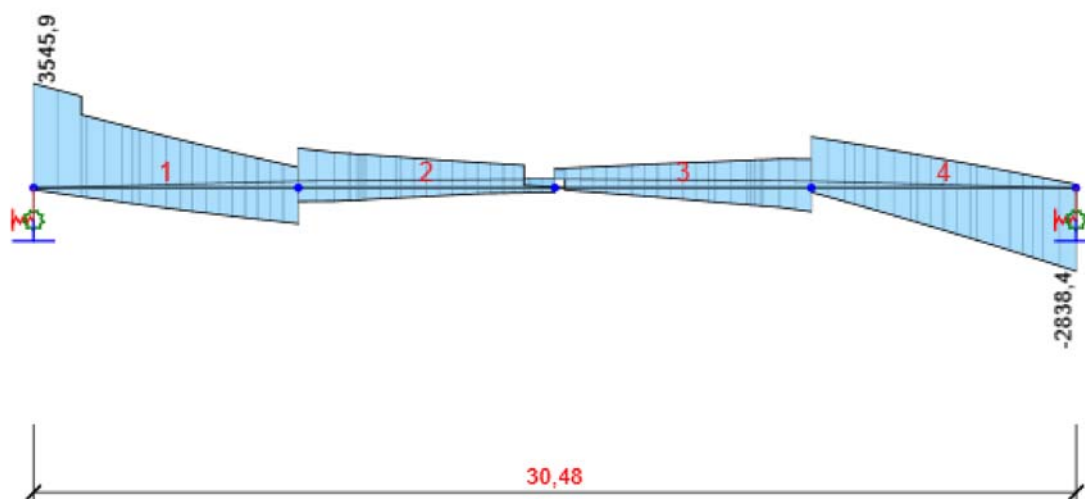
Příloha: Statický výpočet

IDEA StatiCa®
Calculate yesterday's estimates

Obálky



Všechny kombinace, N [kN], Síly k těžišti

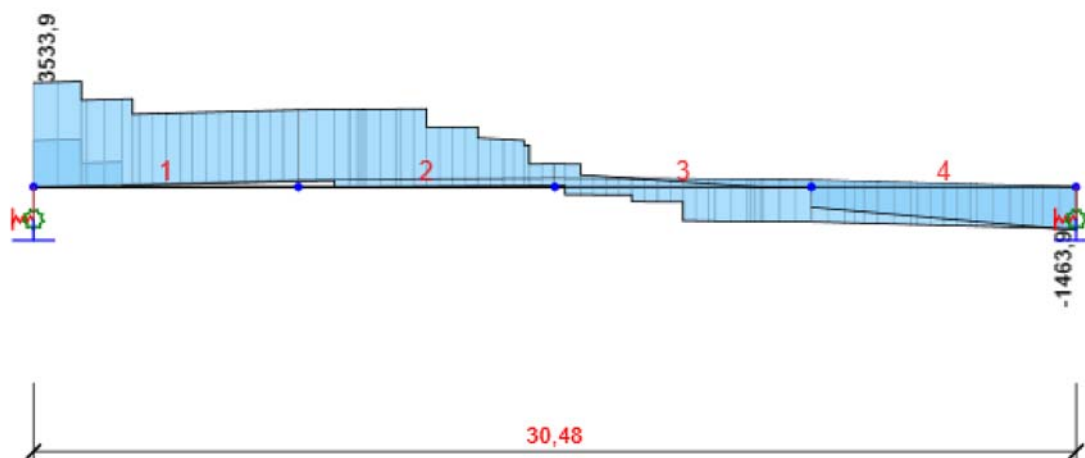


Všechny kombinace, Vz [kN], Síly k těžišti

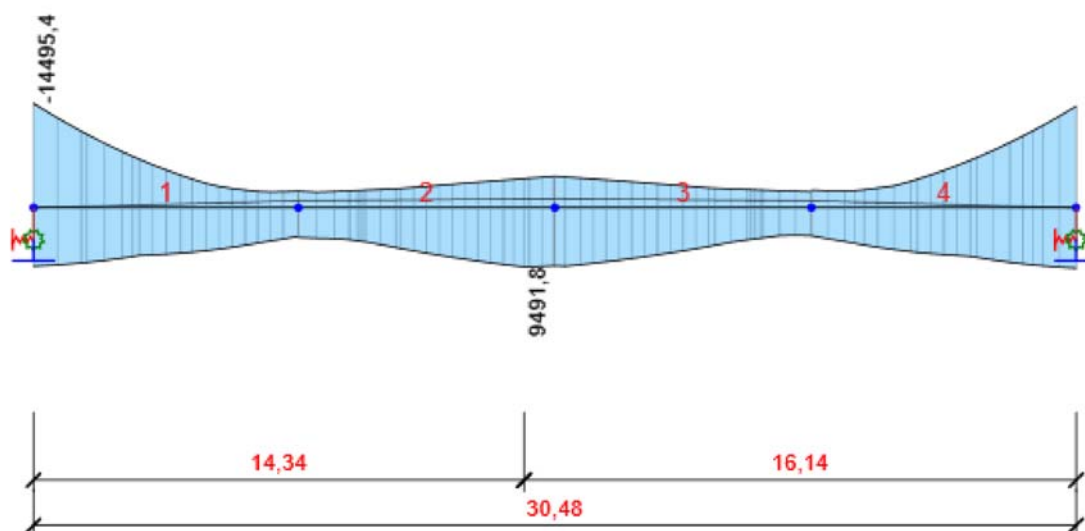
Projekt:
Číslo projektu:
Autor:

Příloha: Statický výpočet

IDEA StatiCa®
Calculate yesterday's estimates



Všechny kombinace, M_x [kNm], Síly k těžišti

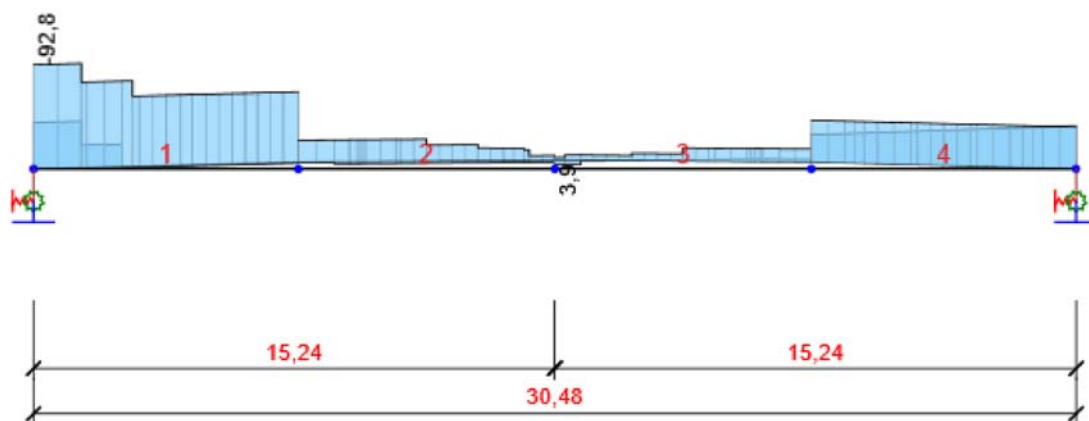


Všechny kombinace, M_y [kNm], Síly k těžišti

Projekt:
Číslo projektu:
Autor:

Příloha: Statický výpočet

IDEA StatiCa®
Calculate yesterday's estimates



Všechny kombinace, Mz [kNm], Síly k těžišti

Projekt:

Číslo projektu:

Autor:

Příloha: Statický výpočet



Vnitřní síly, Extrém na prvku, Síly k těžišti, Těžiště celého

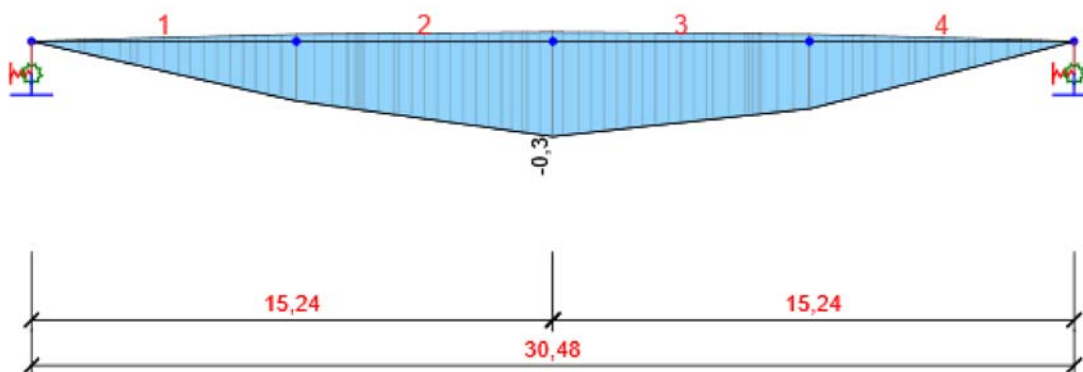
Prvek	Kombinace	Pozice [m]	N [kN]	V _y [kN]	V _z [kN]	M _x [kNm]	M _y [kNm]	M _z [kNm]
1	MSÚZ ST(2)(2)	6,93	-41445,0	0,0	-909,9	0,0	3350,5	0,0
1	MSÚZ ST(6)(16)	1,40	-25775,8	0,0	488,5	0,0	3694,0	0,0
1	MSÚZ ST(2)(2)	0,00	-41364,1	0,0	787,8	0,0	3891,2	0,0
1	MSÚZ ST(6)(25)	2,60	-29128,5	0,0	1311,7	2378,4	-3421,7	-62,5
1	MSÚZ ST(2)(3)	7,74	-40852,1	0,0	-1455,3	0,0	2153,7	0,0
1	MSÚZ ST(6)(92)	0,00	-29537,5	0,0	3545,9	2807,8	-9259,7	-73,7
1	MSÚZ ST(6)(95)	2,60	-28193,2	0,0	237,5	-41,5	2344,3	1,1
1	MSÚZ ST(6)(15)	0,00	-27241,8	0,0	2161,6	3533,9	-2816,5	-92,8
1	MSÚZ ST(6)(12)	0,00	-29439,7	0,0	2920,6	2288,4	-14495,4	-60,1
1	MSÚZ ST(2)(3)	0,00	-40769,5	0,0	-67,6	0,0	8166,2	0,0
1	MSÚZ ST(6)(27)	0,00	-29085,9	0,0	2615,0	3533,9	-6665,6	-92,8
1	MSÚZ ST(6)(96)	7,30	-28198,6	0,0	-630,3	-41,5	2416,4	1,1
2	MSÚZ ST(2)(2)	4,13	-41527,9	0,0	-384,0	0,0	1009,1	0,0
2	MSÚZ ST(6)(16)	0,00	-26225,5	0,0	-267,5	0,0	4188,4	0,0
2	MSÚZ ST(6)(25)	1,73	-28907,2	0,0	589,3	2379,2	2881,8	-19,3
2	MSÚZ ST(6)(12)	1,50	-29087,7	0,0	924,3	1642,2	2110,9	-13,4
2	MSÚZ ST(2)(3)	0,00	-40872,0	0,0	-705,6	0,0	2153,8	0,0
2	MSÚZ ST(6)(111)	0,00	-28557,3	0,0	1108,2	1747,2	3527,5	-14,2
2	MSÚZ ST(6)(15)	1,06	-27333,3	0,0	-488,7	-261,7	4914,4	2,1
2	MSÚZ ST(6)(25)	1,06	-28891,0	0,0	613,5	2379,2	2370,9	-19,3
2	MSÚZ ST(5)(9)	7,50	-37483,3	0,0	-337,9	0,0	-3089,0	0,0
2	MSÚZ ST(6)(111)	6,60	-28959,8	0,0	-207,9	475,4	9491,8	-3,9
2	MSÚZ ST(6)(25)	1,51	-28904,2	0,0	605,6	2379,2	2714,4	-19,4
2	MSÚZ ST(6)(27)	1,50	-28472,9	0,0	-319,9	-261,7	3628,4	2,1
3	MSÚZ ST(2)(2)	7,50	-42167,3	0,0	353,7	0,0	2448,5	0,0
3	MSÚZ ST(6)(16)	7,50	-26720,8	0,0	291,5	0,0	4124,8	0,0
3	MSÚZ ST(6)(25)	4,69	-29223,3	0,0	-553,5	-1417,6	3598,2	-11,5
3	MSÚZ ST(2)(2)	0,00	-41497,1	0,0	349,1	0,0	-207,6	0,0
3	MSÚZ ST(6)(111)	7,50	-29054,4	0,0	-1046,1	-922,5	3345,2	-7,5
3	MSÚZ ST(2)(3)	6,56	-41546,2	0,0	739,5	0,0	1373,5	0,0
3	MSÚZ ST(6)(25)	3,75	-29146,5	0,0	-526,4	-1417,6	4247,1	-11,5
3	MSÚZ ST(6)(25)	0,00	-28633,7	0,0	292,8	480,8	4881,1	3,9
3	MSÚZ ST(5)(9)	0,00	-37487,6	0,0	337,5	0,0	-3090,4	0,0
3	MSÚZ ST(6)(111)	0,30	-28965,5	0,0	-381,5	-418,6	9423,8	-3,4
4	MSÚZ ST(2)(2)	7,74	-42217,8	0,0	-736,0	0,0	4169,8	0,0
4	MSÚZ ST(6)(16)	5,80	-26348,8	0,0	-321,3	0,0	4183,0	0,0
4	MSÚZ ST(6)(25)	6,19	-29828,5	0,0	-1547,9	-1417,1	-5081,1	-37,2
4	MSÚZ ST(2)(2)	0,00	-42154,1	0,0	1127,2	0,0	2448,4	0,0
4	MSÚZ ST(6)(12)	7,74	-30031,1	0,0	-2838,4	-1463,9	-14125,7	-38,4
4	MSÚZ ST(2)(3)	0,00	-41572,2	0,0	1498,9	0,0	2053,3	0,0
4	MSÚZ ST(2)(3)	7,74	-41623,2	0,0	119,4	0,0	8444,3	0,0
4	MSÚZ ST(6)(18)	7,74	-30718,5	0,0	-2838,4	-1463,9	-12661,1	-38,4

Projekt:
Číslo projektu:
Autor:

Příloha: Statický výpočet



Kombinace	Popis kritických účinků zatížení
MSÚZ ST(2)(2)	$R(2) + 1,35 \cdot SW(2) + G(2) + POST(2)$
MSÚZ ST(6)(16)	$R(2) + SW(2) + G(2) + POST(2) + R(5) + OS(5) + 1,5 \cdot T_{ner+} + R(6) + G(6)$
MSÚZ ST(6)(25)	$R(2) + 1,15 \cdot SW(2) + 1,15 \cdot G(2) + POST(2) + R(5) + 1,15 \cdot OS(5) + 1,35 \cdot LM3.2 + R(6) + 1,15 \cdot G(6)$
MSÚZ ST(2)(3)	$R(2) + SW(2) + G(2) + POST(2)$
MSÚZ ST(6)(92)	$R(2) + 1,15 \cdot SW(2) + 1,15 \cdot G(2) + POST(2) + R(5) + 1,15 \cdot OS(5) + 1,35 \cdot UDL + 1,35 \cdot TS.2 + R(6) + 1,15 \cdot G(6)$
MSÚZ ST(6)(95)	$R(2) + SW(2) + G(2) + POST(2) + R(5) + 1,15 \cdot OS(5) + 1,35 \cdot TS.2 + R(6) + G(6)$
MSÚZ ST(6)(15)	$R(2) + SW(2) + G(2) + POST(2) + R(5) + OS(5) + 0,9 \cdot T_{ner+} + 1,35 \cdot LM3.1 + R(6) + G(6)$
MSÚZ ST(6)(12)	$R(2) + 1,15 \cdot SW(2) + G(2) + POST(2) + R(5) + 1,15 \cdot OS(5) + 0,9 \cdot T_{ner-} + 1,35 \cdot UDL + 1,35 \cdot TS.1 + R(6) + G(6)$
MSÚZ ST(6)(27)	$R(2) + 1,15 \cdot SW(2) + G(2) + POST(2) + R(5) + 1,15 \cdot OS(5) + 1,35 \cdot LM3.1 + R(6) + G(6)$
MSÚZ ST(6)(96)	$R(2) + 1,15 \cdot SW(2) + 1,15 \cdot G(2) + POST(2) + R(5) + 1,15 \cdot OS(5) + 1,35 \cdot TS.2 + R(6) + 1,15 \cdot G(6)$
MSÚZ ST(6)(111)	$R(2) + 1,15 \cdot SW(2) + G(2) + POST(2) + R(5) + 1,15 \cdot OS(5) + 0,9 \cdot T_{ner+} + 1,35 \cdot UDL + 1,35 \cdot TS.1 + R(6) + G(6)$
MSÚZ ST(5)(9)	$R(2) + SW(2) + G(2) + POST(2) + R(5) + OS(5) + 1,5 \cdot T_{ner-}$
MSÚZ ST(6)(18)	$R(2) + 1,15 \cdot SW(2) + G(2) + POST(2) + R(5) + 1,15 \cdot OS(5) + 1,35 \cdot UDL + 1,35 \cdot TS.1 + R(6) + G(6)$

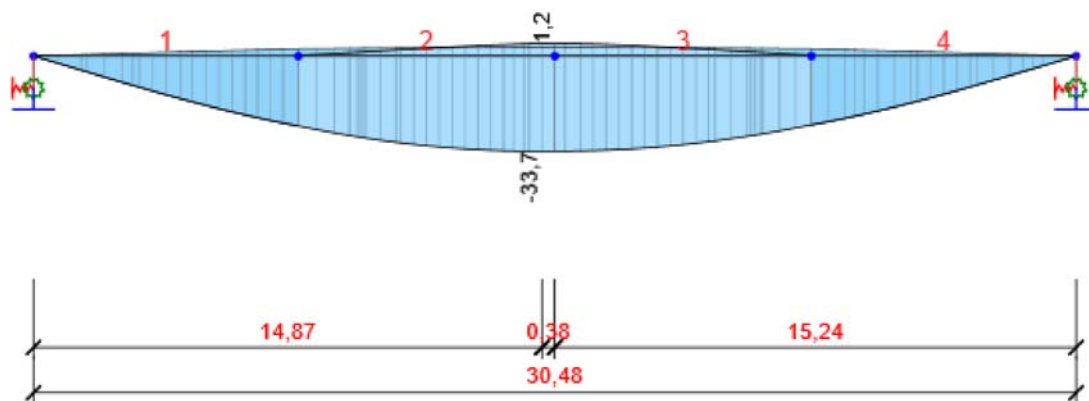


Všechny kombinace, Posun u_y [mm]

Projekt:
Číslo projektu:
Autor:

Příloha: Statický výpočet

IDEA StatiCa®
Calculate yesterday's estimates



Všechny kombinace, Posun uz [mm]

Projekt:

Číslo projektu:

Autor:

Příloha: Statický výpočet



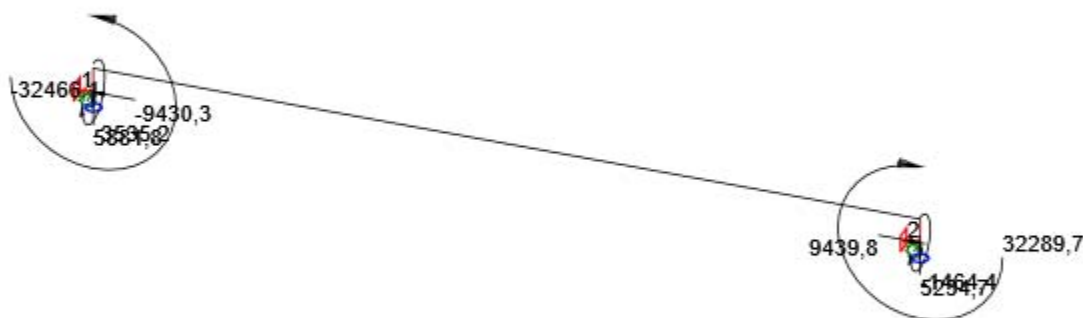
Deformace, Extrém na prvku,

Prvek	Kombinace	Pozice [m]	u_x [mm]	u_y [mm]	u_z [mm]	f_{ix} [mrad]	f_{iy} [mrad]	f_{iz} [mrad]
1	MSPCh ST(2)(28)	7,74	1,6	0,0	-2,0	0,0	-0,4	0,0
1	MSPCh ST(6)(41)	0,00	12,0	0,0	0,0	0,0	3,0	0,0
1	MSPCh ST(6)(39)	7,74	6,5	-0,2	-20,7	0,5	1,8	0,0
1	MSPCh ST(2)(28)	0,00	2,8	0,0	0,0	0,0	0,9	0,0
1	MSPCh ST(6)(38)	7,74	6,5	-0,1	-24,9	0,5	2,4	0,0
1	MSPCh ST(6)(38)	1,40	10,9	0,0	-5,0	0,1	3,6	0,0
1	MSPCh ST(6)(39)	0,00	11,8	0,0	0,0	0,0	3,1	0,0
1	MSPCh ST(6)(41)	7,74	6,7	-0,1	-18,4	0,5	1,2	0,0
2	MSPCh ST(2)(28)	7,50	0,0	0,0	1,2	0,0	0,0	0,0
2	MSPCh ST(6)(41)	0,00	6,7	-0,1	-18,4	0,5	1,2	0,0
2	MSPCh ST(6)(39)	7,50	0,0	-0,3	-26,7	1,6	0,0	0,0
2	MSPCh ST(2)(28)	0,00	1,6	0,0	-2,0	0,0	-0,4	0,0
2	MSPCh ST(6)(38)	7,13	0,4	-0,2	-33,7	1,3	0,0	0,0
2	MSPCh ST(2)(28)	2,85	1,0	0,0	-0,6	0,0	-0,6	0,0
2	MSPCh ST(6)(38)	0,00	6,5	-0,1	-24,9	0,5	2,4	0,0
2	MSPCh ST(6)(39)	0,00	6,5	-0,2	-20,7	0,5	1,8	0,0
2	MSPCh ST(6)(41)	1,06	5,8	-0,1	-19,5	0,5	0,8	0,0
3	MSPCh ST(6)(129)	7,50	-6,5	0,0	-15,0	0,0	-0,8	0,0
3	MSPCh ST(6)(41)	0,00	0,2	-0,1	-20,2	0,4	-0,2	0,0
3	MSPCh ST(6)(39)	0,00	0,0	-0,3	-26,7	1,6	0,0	0,0
3	MSPCh ST(2)(28)	0,00	0,0	0,0	1,2	0,0	0,0	0,0
3	MSPCh ST(6)(38)	0,00	0,1	-0,2	-33,7	1,3	-0,1	0,0
3	MSPCh ST(6)(39)	0,75	-0,6	-0,3	-26,6	1,6	-0,1	0,0
3	MSPCh ST(6)(38)	7,50	-6,5	-0,2	-24,5	0,7	-2,3	0,0
3	MSPCh ST(2)(28)	5,16	-1,1	0,0	-0,7	0,0	0,5	0,0
3	MSPCh ST(6)(39)	7,50	-6,5	-0,2	-20,5	0,8	-1,7	0,0
4	MSPCh ST(6)(129)	7,74	-12,0	0,0	0,0	0,0	-2,7	0,0
4	MSPCh ST(2)(28)	0,00	-1,6	0,0	-1,9	0,0	0,4	0,0
4	MSPCh ST(6)(39)	0,00	-6,5	-0,2	-20,5	0,8	-1,7	0,0
4	MSPCh ST(6)(38)	0,00	-6,5	-0,2	-24,5	0,7	-2,3	0,0
4	MSPCh ST(2)(28)	7,74	-2,8	0,0	0,0	0,0	-0,9	0,0
4	MSPCh ST(6)(38)	6,77	-11,1	0,0	-3,4	0,1	-3,5	0,0
4	MSPCh ST(6)(131)	0,00	-6,5	-0,1	-19,4	0,4	-1,5	0,0
4	MSPCh ST(6)(39)	7,74	-11,8	0,0	0,0	0,0	-3,1	0,0

Kombinace	Popis kritických účinků zatížení
MSPCh ST(2)(28)	R (2) + SW (2) + G (2) + POST (2)
MSPCh ST(6)(41)	R (2) + SW (2) + G (2) + POST (2) + R (5) + OS (5) + LM3.1 + R (6) + G (6)
MSPCh ST(6)(39)	R (2) + SW (2) + G (2) + POST (2) + R (5) + OS (5) + LM3.2 + R (6) + G (6)
MSPCh ST(6)(38)	R (2) + SW (2) + G (2) + POST (2) + R (5) + OS (5) + UDL + TS.1 + R (6) + G (6)
MSPCh ST(6)(129)	R (2) + SW (2) + G (2) + POST (2) + R (5) + OS (5) + R (6) + G (6)
MSPCh ST(6)(131)	R (2) + SW (2) + G (2) + POST (2) + R (5) + OS (5) + UDL + R (6) + G (6)

Projekt:
Číslo projektu:
Autor:

Příloha: Statický výpočet



Reakce

Uzel	Kombinace	R _x [kN]	R _y [kN]	R _z [kN]	M _x [kNm]	M _y [kNm]	M _z [kNm]
1	MSÚZ ST(6)(76)	-9430,3	0,0	3128,9	0,0	-21230,5	0,0
1	MSÚZ ST(2)(62)	-1379,6	0,0	3358,2	0,0	-11115,8	0,0
1	MSÚZ ST(2)(3)	-1951,5	0,0	2487,5	0,0	-7384,3	0,0
1	MSÚZ ST(6)(67)	-8627,8	0,0	3888,3	-2379,2	-26378,4	0,0
1	MSÚZ ST(6)(92)	-8319,1	0,0	5881,8	-2808,8	-29270,5	0,0
1	MSÚZ ST(6)(27)	-8746,2	0,0	4939,5	-3535,2	-27082,1	0,0
1	MSÚZ ST(6)(18)	-7713,3	0,0	5272,3	-2289,1	-32466,1	0,0
2	MSÚZ ST(2)(62)	1381,8	0,0	3358,7	0,0	11105,2	0,0
2	MSÚZ ST(6)(76)	9439,8	0,0	3129,4	0,0	21230,3	0,0
2	MSÚZ ST(2)(3)	1953,7	0,0	2488,0	0,0	7374,1	0,0
2	MSÚZ ST(6)(67)	8637,4	0,0	3888,8	-1417,6	26376,9	0,0
2	MSÚZ ST(6)(18)	7722,8	0,0	5234,7	-1464,4	32289,7	0,0

Kombinace	Popis kritických účinků zatížení
MSÚZ ST(6)(76)	R (2) + SW (2) + G (2) + POST (2) + R (5) + OS (5) + R (6) + G (6)
MSÚZ ST(2)(62)	R (2) + 1,35*SW (2) + 1,35*G (2) + POST (2)
MSÚZ ST(2)(3)	R (2) + SW (2) + G (2) + POST (2)
MSÚZ ST(6)(67)	R (2) + SW (2) + G (2) + POST (2) + R (5) + OS (5) + 1,35*LM3.2 + R (6) + G (6)
MSÚZ ST(6)(92)	R (2) + 1,15*SW (2) + 1,15*G (2) + POST (2) + R (5) + 1,15*OS (5) + 1,35*UDL + 1,35*TS.2 + R (6) + 1,15*G (6)

Projekt:
Číslo projektu:
Autor:

Příloha: Statický výpočet



Kombinace	Popis kritických účinků zatížení
MSÚZ ST(6) (27)	$R(2) + 1,15 \cdot SW(2) + G(2) + POST(2) + R(5) + 1,15 \cdot OS(5) + 1,35 \cdot LM3.1 + R(6) + G(6)$
MSÚZ ST(6) (18)	$R(2) + 1,15 \cdot SW(2) + G(2) + POST(2) + R(5) + 1,15 \cdot OS(5) + 1,35 \cdot UDL + 1,35 \cdot TS.1 + R(6) + G(6)$

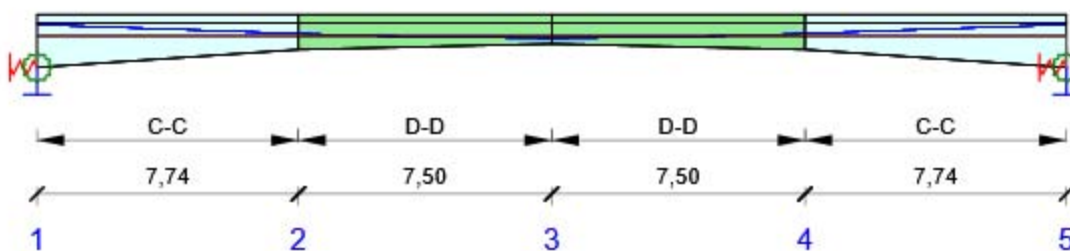
10 Posouzení betonu

Národní norma

Národní norma	EN 1992-1-1:2014-12, CSN:2016-04/NA:2012-01 EN 1992-2:2008-07, CSN:2014-01/NA:2014-10
Životnost	100 let

Upozornění: Pro výpočet časové analýzy se používá tečnový modul pružnosti E_c podle článku 3.1.4(2).

Schéma vyztužení



Souhrn posudků

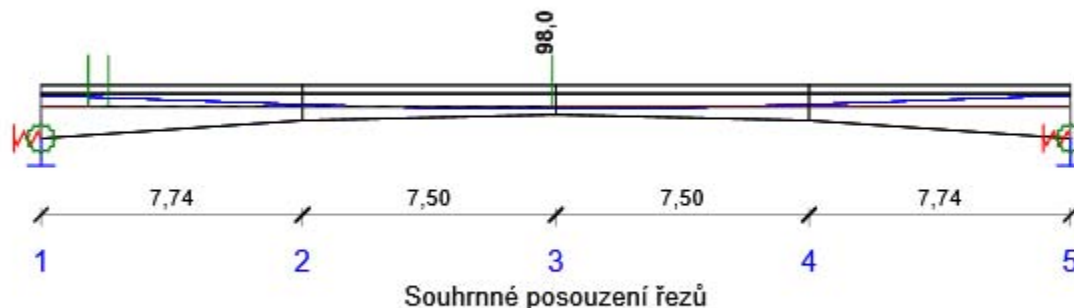
Fáze výstavby	Typ posudku	Kombinace	Pozice	Hodnota [%]	Posudek
Dodatečné předpínání (10,0d)	Omezení napětí	MSPCh ST(2)(28)	Řez 7 (15,14m)	98,0	OK
Ostatní stálé zatížení (100,0d)	Omezení napětí	MSPCh ST(5)(30)	Řez 7 (15,14m)	93,9	OK
Konec návrhové životnosti (36500,0d)	Omezení napětí	MSPCh ST(6)(40)	Řez 7 (15,14m)	87,6	OK

Projekt:
Číslo projektu:
Autor:

Příloha: Statický výpočet



Fáze výstavby: Dodatečné předpínání (10,0d)



Pozice	Vyztužení	Rozhodující typ posudku	Hodnota [%]	Posudek
Řez 2 (1,40m Vlevo)	C-C	Omezení napětí	97,7	OK
Řez 2 (1,40m Vpravo)	C-C	Omezení napětí	97,7	OK
Řez 8 (2,00m)	C-C	Omezení napětí	97,8	OK
Řez 7 (15,14m)	D-D	Omezení napětí	98,0	OK

Mezní hodnota využití průřezu: 100,0 %

Posudek řezu pro pozici: Řez 2 (1,40m Vlevo)

Rozhodující typ posudku	Kombinace		N _{Ed} [kN]	M _{Ed,y} [kNm]	M _{Ed,z} [kNm]	V _{Ed} [kN]	T _{Ed} [kNm]	Hodnota [%]	Posudek
Omezení napětí	MSPCh ST(2)(28)		-40772,9	7900,1	0,0	725,8	0,0	97,7	OK
Kombinace	N _{Ed} [kN]	M _{Ed,y} [kNm]	M _{Ed,z} [kNm]	V _{Ed} [kN]	T _{Ed} [kNm]	Hodnota [%]		Posudek	
Únosnost N-M-M									
MSÚZ ST(2)(2)	1370,8	-5309,8	0,0	2970,4	0,0	12,4		OK	
Smyk									
MSÚZ ST(2)(2)	-41344,9	4754,9	0,0	1499,7	0,0	20,0		OK	
Kroucení									
MSÚZ ST(2)(2)	-41344,9	4754,9	0,0	1499,7	0,0	0,0		OK	
Interakce									
MSÚZ ST(2)(2)	-41344,9	4754,9	0,0	1499,7	0,0	89,6		OK	
Omezení napětí									
MSPCh ST(2)(28)	-40772,9	7900,1	0,0	725,8	0,0	97,7		OK	
Šířka trhliny									
MSPK ST(2)(55)	-44686,8	9588,7	0,0	577,2	0,0	9,0		OK	
Křehký lom									
MSPČ ST(2)(43)	-40772,9	7900,1	0,0	725,8	0,0	30,1		OK	

Upozornění

	Typ posudku	Upozornění
✗	Únosnost N-M-M, Smyk, Kroucení, Interakce, Omezení napětí, Šířka trhliny, Křehký lom	Neočekávaná poloha výztužných vložek, jejich světlá vzdálenost je záporná hodnota

Projekt:
Číslo projektu:
Autor:

Příloha: Statický výpočet



	Typ posudku	Upozornění
	Smyk	Pro posouzení smyku byla použita výchozí hodnota účinné výšky průřezu (z nastavení normy)
	Smyk	Pro posouzení smyku byla použita výchozí hodnota ramene vnitřních sil (z nastavení normy)
	Smyk	Smyk je přenesen betonem, smyková výztuž je požadována z hlediska konstrukčních zásad, viz 6.2.2
	Křehký lom	Sekundární účinky předpětí jsou přepočteny proporcionálně k redukované ploše předpínací výztuže

Posudek řezu pro pozici: Řez 2 (1,40m Vpravo)

Rozhodující typ posudku	Kombinace		N _{Ed} [kN]	M _{Ed,y} [kNm]	M _{Ed,z} [kNm]	V _{Ed} [kN]	T _{Ed} [kNm]	Hodnota [%]	Posudek
Omezení napětí	MSPCh ST(2)(28)		-40772,9	7900,1	0,0	725,8	0,0	97,7	OK
Kombinace	N _{Ed} [kN]	M _{Ed,y} [kNm]	M _{Ed,z} [kNm]	V _{Ed} [kN]	T _{Ed} [kNm]	Hodnota [%]		Posudek	
Únosnost N-M-M									
MSÚZ ST(2)(2)	1370,8	-5309,8	0,0	2970,4	0,0	12,4		OK	
Smyk									
MSÚZ ST(2)(2)	-41344,9	4754,9	0,0	1499,7	0,0	20,0		OK	
Kroucení									
MSÚZ ST(2)(2)	-41344,9	4754,9	0,0	1499,7	0,0	0,0		OK	
Interakce									
MSÚZ ST(2)(2)	-41344,9	4754,9	0,0	1499,7	0,0	89,6		OK	
Omezení napětí									
MSPCh ST(2)(28)	-40772,9	7900,1	0,0	725,8	0,0	97,7		OK	
Šířka trhliny									
MSPK ST(2)(55)	-44686,8	9588,7	0,0	577,3	0,0	9,0		OK	
Křehký lom									
MSPČ ST(2)(43)	-40772,9	7900,1	0,0	725,8	0,0	30,1		OK	

Upozornění

	Typ posudku	Upozornění
	Únosnost N-M-M, Smyk, Kroucení, Interakce, Omezení napětí, Šířka trhliny, Křehký lom	Neočekávaná poloha výztužných vložek, jejich světlá vzdálenost je záporná hodnota
	Smyk	Pro posouzení smyku byla použita výchozí hodnota účinné výšky průřezu (z nastavení normy)
	Smyk	Pro posouzení smyku byla použita výchozí hodnota ramene vnitřních sil (z nastavení normy)
	Smyk	Smyk je přenesen betonem, smyková výztuž je požadována z hlediska konstrukčních zásad, viz 6.2.2
	Křehký lom	Sekundární účinky předpětí jsou přepočteny proporcionálně k redukované ploše předpínací výztuže

Posudek řezu pro pozici: Řez 8 (2,00m)

Rozhodující typ posudku	Kombinace		N _{Ed} [kN]	M _{Ed,y} [kNm]	M _{Ed,z} [kNm]	V _{Ed} [kN]	T _{Ed} [kNm]	Hodnota [%]	Posudek
Omezení napětí	MSPCh ST(2)(28)		-40782,9	7665,6	0,0	610,7	0,0	97,8	OK
Kombinace	N _{Ed} [kN]	M _{Ed,y} [kNm]	M _{Ed,z} [kNm]	V _{Ed} [kN]	T _{Ed} [kNm]	Hodnota [%]		Posudek	
Únosnost N-M-M									

Projekt:
Číslo projektu:
Autor:

Příloha: Statický výpočet



Kombinace	N_{Ed} [kN]	$M_{Ed,y}$ [kNm]	$M_{Ed,z}$ [kNm]	V_{Ed} [kN]	T_{Ed} [kNm]	Hodnota [%]	Posudek
MSÚZ ST(2)(2)	1370,6	-3548,6	0,0	2815,4	0,0	9,1	OK
Smyk							
MSÚZ ST(2)(2)	-41354,8	4962,5	0,0	1344,4	0,0	18,5	OK
Kroucení							
MSÚZ ST(2)(2)	-41354,8	4962,5	0,0	1344,4	0,0	0,0	OK
Interakce							
MSÚZ ST(2)(2)	-41354,8	4962,5	0,0	1344,4	0,0	89,6	OK
Omezení napětí							
MSPCh ST(2)(28)	-40782,9	7665,6	0,0	610,7	0,0	97,8	OK
Šířka trhliny							
MSPK ST(2)(55)	-44697,8	9204,5	0,0	462,1	0,0	9,5	OK
Křehký lom							
MSPČ ST(2)(43)	-40782,9	7665,6	0,0	610,7	0,0	31,7	OK

Upozornění

	Typ posudku	Upozornění
	Únosnost N-M-M, Smyk, Kroucení, Interakce, Omezení napětí, Šířka trhliny, Křehký lom	Neočekávaná poloha výztužných vložek, jejich světla vzdálenost je záporná hodnota
	Smyk	Pro posouzení smyku byla použita výchozí hodnota účinné výšky průřezu (z nastavení normy)
	Smyk	Pro posouzení smyku byla použita výchozí hodnota ramene vnitřních sil (z nastavení normy)
	Smyk	Smyk je přenesen betonem, smyková výztuž je požadována z hlediska konstrukčních zásad, viz 6.2.2
	Křehký lom	Sekundární účinky předpětí jsou přepočteny proporcionálně k redukované ploše předpínací výztuže

Posudek řezu pro pozici: Řez 7 (15,14m)

Rozhodující typ posudku	Kombinace		N _{Ed} [kN]	M _{Ed,y} [kNm]	M _{Ed,z} [kNm]	V _{Ed} [kN]	T _{Ed} [kNm]	Hodnota [%]	Posudek
Omezení napětí	MSPCh ST(2)(28)		-40925,8	-1957,4	0,0	-18,5	0,0	98,0	OK
Kombinace	N _{Ed} [kN]	M _{Ed,y} [kNm]	M _{Ed,z} [kNm]	V _{Ed} [kN]	T _{Ed} [kNm]	Hodnota [%]		Posudek	
Únosnost N-M-M									
MSÚZ ST(2)(62)	1371,8	14524,3	0,0	6,8	0,0	51,9		OK	
Smyk									
MSÚZ ST(2)(3)	-40925,8	-1957,4	0,0	-18,5	0,0	1,3		OK	
Kroucení									
MSÚZ ST(2)(3)	-40925,8	-1957,4	0,0	-18,5	0,0	0,0		OK	
Interakce									
MSÚZ ST(2)(62)	-41497,7	-172,8	0,0	-13,6	0,0	89,6		OK	
Omezení napětí									
MSPCh ST(2)(28)	-40925,8	-1957,4	0,0	-18,5	0,0	98,0		OK	
Šířka trhliny									
MSPK ST(2)(55)	-44855,0	-2663,0	0,0	-21,7	0,0	8,1		OK	
Křehký lom									

Projekt:
Číslo projektu:
Autor:

Příloha: Statický výpočet



Kombinace	N_{Ed} [kN]	$M_{Ed,y}$ [kNm]	$M_{Ed,z}$ [kNm]	V_{Ed} [kN]	T_{Ed} [kNm]	Hodnota [%]	Posudek
MSPČ ST(2)(43)	-40925,8	-1957,4	0,0	-18,5	0,0	30,6	OK

Upozornění

	Typ posudku	Upozornění
	Únosnost N-M-M, Smyk, Kroucení, Interakce, Omezení napětí, Šířka trhliny, Křehký lom	Neočekávaná poloha výztužných vložek, jejich světlá vzdálenost je záporná hodnota
	Smyk	Pro posouzení smyku byla použita výchozí hodnota účinné výšky průřezu (z nastavení normy)
	Smyk	Pro posouzení smyku byla použita výchozí hodnota ramene vnitřních sil (z nastavení normy)
	Smyk	Smyk je přenesen betonem, smyková výztuž je požadována z hlediska konstrukčních zásad, viz 6.2.2
	Šířka trhliny	Horní nebo dolní návrhová hodnota vnitřních sil v řezu u jedné z kombinací MSP vyvodila napětí betonu v tahu větší, než je pevnost betonu v tahu (průřez je potrhán). Na základě nastavení výpočtu se proto předpokládá vyloučení působení betonu v tahu v posudcích MSP pro všechny kombinace daného extrému. Předpoklady výpočtu pro posudky MSP v rámci jiného extrému daného řezu nejsou ovlivněny.
	Křehký lom	Sekundární účinky předpětí jsou přepočteny proporcionálně k redukované ploše předpínací výztuže

Kritické kombinace vybrané pro posouzení řezů

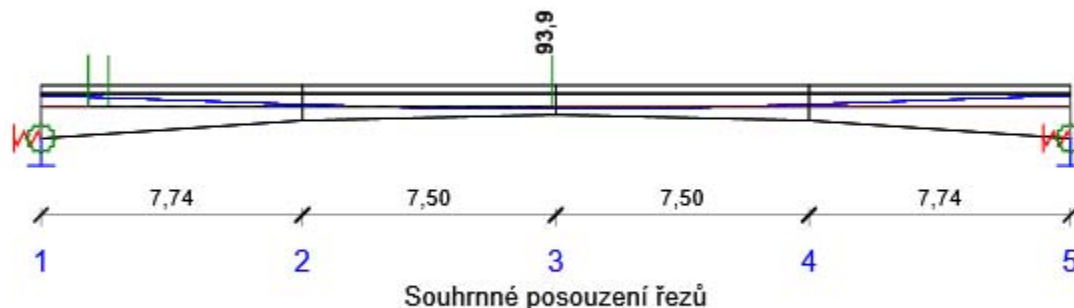
Kombinace	Popis kritických účinků zatížení
MSÚZ ST(2)(2)	R (2) + 1,35*SW (2) + G (2) + POST (2)
MSÚZ ST(2)(3)	R (2) + SW (2) + G (2) + POST (2)
MSPCh ST(2)(28)	R (2) + SW (2) + G (2) + POST (2)
MSPČ ST(2)(43)	R (2) + SW (2) + G (2) + POST (2)
MSPK ST(2)(55)	R (2) + SW (2) + G (2) + POST (2)
MSÚZ ST(2)(62)	R (2) + 1,35*SW (2) + 1,35*G (2) + POST (2)

Projekt:
Číslo projektu:
Autor:

Příloha: Statický výpočet



Fáze výstavby: Ostatní stálé zatížení (100,0d)



Pozice	Vyztužení	Rozhodující typ posudku	Hodnota [%]	Posudek
Řez 2 (1,40m Vlevo)	C-C	Omezení napětí	93,5	OK
Řez 2 (1,40m Vpravo)	C-C	Omezení napětí	93,5	OK
Řez 8 (2,00m)	C-C	Omezení napětí	93,4	OK
Řez 7 (15,14m)	D-D	Omezení napětí	93,9	OK

Mezní hodnota využití průřezu: 100,0 %

Posudek řezu pro pozici: Řez 2 (1,40m Vlevo)

Rozhodující typ posudku	Kombinace		N _{Ed} [kN]	M _{Ed,y} [kNm]	M _{Ed,z} [kNm]	V _{Ed} [kN]	T _{Ed} [kNm]	Hodnota [%]	Posudek
Omezení napětí	MSPCh ST(5)(29)		-37224,6	2440,4	0,0	1238,4	0,0	93,5	OK
Kombinace	N _{Ed} [kN]	M _{Ed,y} [kNm]	M _{Ed,z} [kNm]	V _{Ed} [kN]	T _{Ed} [kNm]	Hodnota [%]		Posudek	
Únosnost N-M-M									
MSÚZ ST(5)(4)	2768,6	-11009,2	0,0	3627,1	0,0	24,4		OK	
Smyk									
MSÚZ ST(5)(10)	-37339,0	1673,4	0,0	2284,7	0,0	30,9		OK	
Kroucení									
MSÚZ ST(5)(4)	-38025,0	-1397,3	0,0	2222,6	0,0	0,0		OK	
Interakce									
MSÚZ ST(5)(4)	-38025,0	-1397,3	0,0	2222,6	0,0	87,8		OK	
Omezení napětí									
MSPCh ST(5)(29)	-37224,6	2440,4	0,0	1238,4	0,0	93,5		OK	
Šířka trhliny									
MSPK ST(5)(57)	-40946,4	6600,3	0,0	1162,6	0,0	7,2		OK	
Křehký lom									
MSPČ ST(5)(44)	-37529,6	3088,9	0,0	1263,7	0,0	33,6		OK	

Upozornění

	Typ posudku	Upozornění
✗	Únosnost N-M-M, Smyk, Kroucení, Interakce, Omezení napětí, Šířka trhliny, Křehký lom	Neočekávaná poloha výztužných vložek, jejich světlná vzdálenost je záporná hodnota

Projekt:
Číslo projektu:
Autor:

Příloha: Statický výpočet



	Typ posudku	Upozornění
	Smyk	Pro posouzení smyku byla použita výchozí hodnota účinné výšky průřezu (z nastavení normy)
	Smyk	Pro posouzení smyku byla použita výchozí hodnota ramene vnitřních sil (z nastavení normy)
	Smyk	Smyk je přenesen betonem, smyková výztuž je požadována z hlediska konstrukčních zásad, viz 6.2.2
	Křehký lom	Sekundární účinky předpětí jsou přepočteny proporcionálně k redukované ploše předpínací výztuže

Posudek řezu pro pozici: Řez 2 (1,40m Vpravo)

Rozhodující typ posudku	Kombinace		N _{Ed} [kN]	M _{Ed,y} [kNm]	M _{Ed,z} [kNm]	V _{Ed} [kN]	T _{Ed} [kNm]	Hodnota [%]	Posudek
Omezení napětí	MSPCh ST(5)(29)		-37226,3	2440,1	0,0	1238,4	0,0	93,5	OK
Kombinace	N _{Ed} [kN]	M _{Ed,y} [kNm]	M _{Ed,z} [kNm]	V _{Ed} [kN]	T _{Ed} [kNm]	Hodnota [%]		Posudek	
Únosnost N-M-M									
MSÚZ ST(5)(4)	2766,8	-11009,4	0,0	3627,2	0,0	24,4		OK	
Smyk									
MSÚZ ST(5)(10)	-37341,1	1673,0	0,0	2284,8	0,0	30,9		OK	
Kroucení									
MSÚZ ST(5)(4)	-38026,7	-1397,5	0,0	2222,6	0,0	0,0		OK	
Interakce									
MSÚZ ST(5)(4)	-38026,7	-1397,5	0,0	2222,6	0,0	87,8		OK	
Omezení napětí									
MSPCh ST(5)(29)	-37226,3	2440,1	0,0	1238,4	0,0	93,5		OK	
Šířka trhliny									
MSPK ST(5)(57)	-40948,4	6600,0	0,0	1162,6	0,0	7,2		OK	
Křehký lom									
MSPČ ST(5)(44)	-37531,4	3088,7	0,0	1263,7	0,0	33,6		OK	

Upozornění

	Typ posudku	Upozornění
	Únosnost N-M-M, Smyk, Kroucení, Interakce, Omezení napětí, Šířka trhliny, Křehký lom	Neočekávaná poloha výztužných vložek, jejich světlá vzdálenost je záporná hodnota
	Smyk	Pro posouzení smyku byla použita výchozí hodnota účinné výšky průřezu (z nastavení normy)
	Smyk	Pro posouzení smyku byla použita výchozí hodnota ramene vnitřních sil (z nastavení normy)
	Smyk	Smyk je přenesen betonem, smyková výztuž je požadována z hlediska konstrukčních zásad, viz 6.2.2
	Křehký lom	Sekundární účinky předpětí jsou přepočteny proporcionálně k redukované ploše předpínací výztuže

Posudek řezu pro pozici: Řez 8 (2,00m)

Rozhodující typ posudku	Kombinace		N _{Ed} [kN]	M _{Ed,y} [kNm]	M _{Ed,z} [kNm]	V _{Ed} [kN]	T _{Ed} [kNm]	Hodnota [%]	Posudek
Omezení napětí	MSPCh ST(5)(29)		-37238,8	2604,6	0,0	1098,5	0,0	93,4	OK
Kombinace	N _{Ed} [kN]	M _{Ed,y} [kNm]	M _{Ed,z} [kNm]	V _{Ed} [kN]	T _{Ed} [kNm]	Hodnota [%]	Posudek		
Únosnost N-M-M									

Projekt:
Číslo projektu:
Autor:

Příloha: Statický výpočet



Kombinace	N_{Ed} [kN]	$M_{Ed,y}$ [kNm]	$M_{Ed,z}$ [kNm]	V_{Ed} [kN]	T_{Ed} [kNm]	Hodnota [%]	Posudek
MSÚZ ST(5)(4)	2749,4	-8796,5	0,0	3438,0	0,0	21,1	OK
Smyk							
MSÚZ ST(5)(10)	-37383,1	2393,1	0,0	2096,9	0,0	29,3	OK
Kroucení							
MSÚZ ST(5)(4)	-38037,4	-671,6	0,0	2033,7	0,0	0,0	OK
Interakce							
MSÚZ ST(5)(4)	-38037,4	-671,6	0,0	2033,7	0,0	87,5	OK
Omezení napětí							
MSPCh ST(5)(29)	-37238,8	2604,6	0,0	1098,5	0,0	93,4	OK
Šířka trhliny							
MSPK ST(5)(57)	-40968,4	6629,6	0,0	1023,2	0,0	7,8	OK
Křehký lom							
MSPČ ST(5)(44)	-37536,5	3262,4	0,0	1123,7	0,0	32,7	OK

Upozornění

	Typ posudku	Upozornění
	Únosnost N-M-M, Smyk, Kroucení, Interakce, Omezení napětí, Šířka trhliny, Křehký lom	Neočekávaná poloha výztužných vložek, jejich světla vzdálenost je záporná hodnota
	Smyk	Pro posouzení smyku byla použita výchozí hodnota účinné výšky průřezu (z nastavení normy)
	Smyk	Pro posouzení smyku byla použita výchozí hodnota ramene vnitřních sil (z nastavení normy)
	Smyk	Smyk je přenesen betonem, smyková výztuž je požadována z hlediska konstrukčních zásad, viz 6.2.2
	Křehký lom	Sekundární účinky předpětí jsou přepočteny proporcionálně k redukované ploše předpínací výztuže

Posudek řezu pro pozici: Řez 7 (15,14m)

Rozhodující typ posudku	Kombinace		N _{Ed} [kN]	M _{Ed,y} [kNm]	M _{Ed,z} [kNm]	V _{Ed} [kN]	T _{Ed} [kNm]	Hodnota [%]	Posudek
Omezení napětí	MSPCh ST(5)(30)		-37582,0	1490,4	0,0	-31,0	0,0	93,9	OK
Kombinace	N _{Ed} [kN]	M _{Ed,y} [kNm]	M _{Ed,z} [kNm]	V _{Ed} [kN]	T _{Ed} [kNm]	Hodnota [%]		Posudek	
Únosnost N-M-M									
MSÚZ ST(5)(10)	2389,7	17573,4	0,0	-5,3	0,0	61,0		OK	
Smyk									
MSÚZ ST(5)(5)	-37409,2	2427,1	0,0	-31,0	0,0	2,2		OK	
Kroucení									
MSÚZ ST(5)(5)	-37409,2	2427,1	0,0	-31,0	0,0	0,0		OK	
Interakce									
MSÚZ ST(5)(10)	-38340,7	3609,6	0,0	-24,6	0,0	86,9		OK	
Omezení napětí									
MSPCh ST(5)(30)	-37582,0	1490,4	0,0	-31,0	0,0	93,9		OK	
Šířka trhliny									
MSPK ST(5)(56)	-41496,9	-1907,4	0,0	-34,2	0,0	6,7		OK	
Křehký lom									

Projekt:
Číslo projektu:
Autor:

Příloha: Statický výpočet



Kombinace	N_{Ed} [kN]	$M_{Ed,y}$ [kNm]	$M_{Ed,z}$ [kNm]	V_{Ed} [kN]	T_{Ed} [kNm]	Hodnota [%]	Posudek
MSPČ ST(5)(45)	-37720,2	741,0	0,0	-31,0	0,0	34,6	OK

Upozornění

Typ posudku	Upozornění
Únosnost N-M-M, Smyk, Kroucení, Interakce, Omezení napětí, Šířka trhliny, Křehký lom	Neočekávaná poloha výztužných vložek, jejich světlá vzdálenost je záporná hodnota
Smyk	Pro posouzení smyku byla použita výchozí hodnota účinné výšky průřezu (z nastavení normy)
Smyk	Pro posouzení smyku byla použita výchozí hodnota ramene vnitřních sil (z nastavení normy)
Smyk	Smyk je přenesen betonem, smyková výztuž je požadována z hlediska konstrukčních zásad, viz 6.2.2
Šířka trhliny	Horní nebo dolní návrhová hodnota vnitřních sil v řezu u jedné z kombinací MSP vyvodila napětí betonu v tahu větší, než je pevnost betonu v tahu (průřez je potrhán). Na základě nastavení výpočtu se proto předpokládá vyloučení působení betonu v tahu v posudcích MSP pro všechny kombinace daného extrému. Předpoklady výpočtu pro posudky MSP v rámci jiného extrému daného řezu nejsou ovlivněny.
Křehký lom	Sekundární účinky předpětí jsou přepočteny proporcionálně k redukované ploše předpínací výztuže

Kritické kombinace vybrané pro posouzení řezů

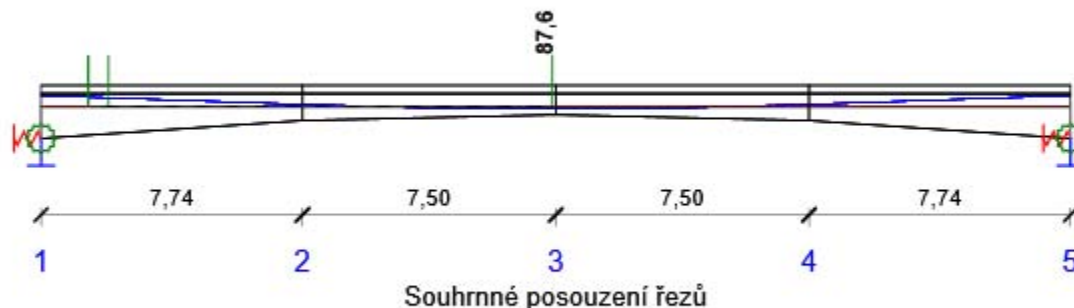
Kombinace	Popis kritických účinků zatížení
MSÚZ ST(5)(4)	$R(2) + 1,35 \cdot SW(2) + G(2) + POST(2) + R(5) + 1,35 \cdot OS(5) + 0,9 \cdot T_{ner-}$
MSÚZ ST(5)(5)	$R(2) + SW(2) + G(2) + POST(2) + R(5) + OS(5) + 1,5 \cdot T_{ner+}$
MSÚZ ST(5)(10)	$R(2) + 1,35 \cdot SW(2) + 1,35 \cdot G(2) + POST(2) + R(5) + 1,35 \cdot OS(5) + 0,9 \cdot T_{ner+}$
MSPCh ST(5)(29)	$R(2) + SW(2) + G(2) + POST(2) + R(5) + OS(5) + T_{ner-}$
MSPCh ST(5)(30)	$R(2) + SW(2) + G(2) + POST(2) + R(5) + OS(5) + T_{ner+}$
MSPČ ST(5)(44)	$R(2) + SW(2) + G(2) + POST(2) + R(5) + OS(5) + 0,6 \cdot T_{ner-}$
MSPČ ST(5)(45)	$R(2) + SW(2) + G(2) + POST(2) + R(5) + OS(5) + 0,6 \cdot T_{ner+}$
MSPK ST(5)(56)	$R(2) + SW(2) + G(2) + POST(2) + R(5) + OS(5) + 0,5 \cdot T_{ner-}$
MSPK ST(5)(57)	$R(2) + SW(2) + G(2) + POST(2) + R(5) + OS(5) + 0,5 \cdot T_{ner+}$

Projekt:
Číslo projektu:
Autor:

Příloha: Statický výpočet



Fáze výstavby: Konec návrhové životnosti (36500,0d)



Pozice	Vyztužení	Rozhodující typ posudku	Hodnota [%]	Posudek
Řez 2 (1,40m Vlevo)	C-C	Omezení napětí	86,3	OK
Řez 2 (1,40m Vpravo)	C-C	Omezení napětí	86,3	OK
Řez 8 (2,00m)	C-C	Omezení napětí	86,0	OK
Řez 7 (15,14m)	D-D	Omezení napětí	87,6	OK

Mezní hodnota využití průřezu: 100,0 %

Posudek řezu pro pozici: Řez 2 (1,40m Vlevo)

Rozhodující typ posudku	Kombinace		N _{Ed} [kN]	M _{Ed,y} [kNm]	M _{Ed,z} [kNm]	V _{Ed} [kN]	T _{Ed} [kNm]	Hodnota [%]	Posudek
Omezení napětí	MSPCh ST(6)(32)		-28699,0	-6082,2	-42,6	2367,6	1622,5	86,3	OK
Kombinace	N _{Ed} [kN]	M _{Ed,y} [kNm]	M _{Ed,z} [kNm]	V _{Ed} [kN]	T _{Ed} [kNm]	Hodnota [%]		Posudek	
Únosnost N-M-M									
MSÚZ ST(6)(12)	8391,0	-19260,4	-57,5	4465,5	2190,4	45,3		OK	
Smyk									
MSÚZ ST(6)(26)	-27849,6	-2699,3	-71,2	3845,0	2709,8	53,4		OK	
Kroucení									
MSÚZ ST(6)(15)	-27117,4	340,3	-92,8	2581,2	3533,9	29,9		OK	
Interakce									
MSÚZ ST(6)(26)	-27849,6	-2699,3	-71,2	3845,0	2709,8	82,8		OK	
Omezení napětí									
MSPCh ST(6)(32)	-28699,0	-6082,2	-42,6	2367,6	1622,5	86,3		OK	
Šířka trhliny									
MSPK ST(6)(60)	-30743,9	3531,5	0,0	1099,2	0,0	5,4		OK	
Křehký lom									
MSPČ ST(6)(47)	-28340,3	-3400,9	-24,3	1846,7	923,4	39,8		OK	

Upozornění

Typ posudku	Upozornění
-------------	------------

Projekt:
Číslo projektu:
Autor:

Příloha: Statický výpočet



	Typ posudku	Upozornění
	Únosnost N-M-M, Smyk, Kroucení, Interakce, Omezení napětí, Šířka trhliny, Křehký lom	Neočekávaná poloha výztužných vložek, jejich světla vzdálenost je záporná hodnota
	Smyk	Pro posouzení smyku byla použita výchozí hodnota účinné výšky průřezu (z nastavení normy)
	Smyk	Pro posouzení smyku byla použita výchozí hodnota ramene vnitřních sil (z nastavení normy)
	Interakce	Posouzení interakce smyku a kroucení podle čl. 6.3.2 (5) nevyhovuje, proto bylo třeba provést posouzení mezní únosnosti při interakci všech složek vnitřních sil.
	Křehký lom	Sekundární účinky předpětí jsou přepočteny proporcionálně k redukované ploše předpínací výztuže

Posudek řezu pro pozici: Řez 2 (1,40m Vpravo)

Rozhodující typ posudku	Kombinace		N _{Ed} [kN]	M _{Ed,y} [kNm]	M _{Ed,z} [kNm]	V _{Ed} [kN]	T _{Ed} [kNm]	Hodnota [%]	Posudek
Omezení napětí	MSPCh ST(6)(32)		-28702,4	-6082,5	-42,6	2367,7	1622,5	86,3	OK
Kombinace	N _{Ed} [kN]	M _{Ed,y} [kNm]	M _{Ed,z} [kNm]	V _{Ed} [kN]	T _{Ed} [kNm]	Hodnota [%]		Posudek	
Únosnost N-M-M									
MSÚZ ST(6)(12)	8387,6	-19260,7	-57,5	4465,6	2190,4	45,3		OK	
Smyk									
MSÚZ ST(6)(21)	-28459,2	-7346,7	-57,5	3235,5	2190,4	45,2		OK	
Kroucení									
MSÚZ ST(6)(15)	-27121,1	339,7	-76,2	2328,2	2901,3	24,6		OK	
Interakce									
MSÚZ ST(6)(12)	-29144,8	-10417,3	-57,5	3173,3	2190,4	82,4		OK	
Omezení napětí									
MSPCh ST(6)(32)	-28702,4	-6082,5	-42,6	2367,7	1622,5	86,3		OK	
Šířka trhliny									
MSPK ST(6)(60)	-30747,5	3531,1	0,0	1099,3	0,0	5,4		OK	
Křehký lom									
MSPČ ST(6)(47)	-28343,7	-3401,2	-24,3	1846,8	923,4	39,8		OK	

Upozornění

	Typ posudku	Upozornění
	Únosnost N-M-M, Smyk, Kroucení, Interakce, Omezení napětí, Šířka trhliny, Křehký lom	Neočekávaná poloha výztužných vložek, jejich světla vzdálenost je záporná hodnota
	Smyk	Pro posouzení smyku byla použita výchozí hodnota účinné výšky průřezu (z nastavení normy)
	Smyk	Pro posouzení smyku byla použita výchozí hodnota ramene vnitřních sil (z nastavení normy)
	Smyk	Smyk je přenesen betonem, smyková výztuž je požadována z hlediska konstrukčních zásad, viz 6.2.2
	Interakce	Posouzení interakce smyku a kroucení podle čl. 6.3.2 (5) nevyhovuje, proto bylo třeba provést posouzení mezní únosnosti při interakci všech složek vnitřních sil.
	Křehký lom	Sekundární účinky předpětí jsou přepočteny proporcionálně k redukované ploše předpínací výztuže

Projekt:
Číslo projektu:
Autor:

Příloha: Statický výpočet



Posudek řezu pro pozici: Řez 8 (2,00m)

Rozhodující typ posudku	Kombinace		N _{Ed} [kN]	M _{Ed,y} [kNm]	M _{Ed,z} [kNm]	V _{Ed} [kN]	T _{Ed} [kNm]	Hodnota [%]	Posudek
Omezení napětí	MSPCh ST(6)(32)		-28641,1	-5017,3	-41,8	2197,3	1591,4	86,0	OK
Kombinace	N _{Ed} [kN]	M _{Ed,y} [kNm]	M _{Ed,z} [kNm]	V _{Ed} [kN]	T _{Ed} [kNm]	Hodnota [%]		Posudek	
Únosnost N-M-M									
MSÚZ ST(6)(12)	8369,0	-16346,6	-56,4	4262,0	2148,4	41,8		OK	
Smyk									
MSÚZ ST(6)(21)	-28434,9	-5820,1	-56,4	3035,5	2148,4	43,8		OK	
Kroucení									
MSÚZ ST(6)(15)	-27096,8	1362,6	-76,2	2187,8	2901,3	25,2		OK	
Interakce									
MSÚZ ST(6)(12)	-29089,1	-8884,8	-56,4	2972,3	2148,4	81,8		OK	
Omezení napětí									
MSPCh ST(6)(32)	-28641,1	-5017,3	-41,8	2197,3	1591,4	86,0		OK	
Šířka trhliny									
MSPK ST(6)(60)	-30694,4	3781,6	0,0	958,5	0,0	6,1		OK	
Křehký lom									
MSPČ ST(6)(47)	-28280,5	-2637,4	-23,9	1693,6	911,0	38,5		OK	

Upozornění

	Typ posudku	Upozornění
	Únosnost N-M-M, Smyk, Kroucení, Interakce, Omezení napětí, Šířka trhliny, Křehký lom	Neočekávaná poloha výztužných vložek, jejich světla vzdálenost je záporná hodnota
	Smyk	Pro posouzení smyku byla použita výchozí hodnota účinné výšky průřezu (z nastavení normy)
	Smyk	Pro posouzení smyku byla použita výchozí hodnota ramene vnitřních sil (z nastavení normy)
	Smyk	Smyk je přenesen betonem, smyková výztuž je požadována z hlediska konstrukčních zásad, viz 6.2.2
	Interakce	Posouzení interakce smyku a kroucení podle čl. 6.3.2 (5) nevyhovuje, proto bylo třeba provést posouzení mezní únosnosti při interakci všech složek vnitřních sil.
	Křehký lom	Sekundární účinky předpětí jsou přepočteny proporcionálně k redukované ploše předpínací výztuže

Posudek řezu pro pozici: Řez 7 (15,14m)

Rozhodující typ posudku	Kombinace		N _{Ed} [kN]	M _{Ed,y} [kNm]	M _{Ed,z} [kNm]	V _{Ed} [kN]	T _{Ed} [kNm]	Hodnota [%]	Posudek
Omezení napětí	MSPCh ST(6)(40)		-28375,5	6155,0	-2,5	-42,7	310,6	87,6	OK
Kombinace	N _{Ed} [kN]	M _{Ed,y} [kNm]	M _{Ed,z} [kNm]	V _{Ed} [kN]	T _{Ed} [kNm]	Hodnota [%]		Posudek	
Únosnost N-M-M									
MSÚZ ST(6)(21)	7999,6	22049,8	-3,4	-15,8	419,4	78,9		OK	
Smyk									
MSÚZ ST(6)(22)	-27916,0	1021,1	2,1	-231,4	-261,7	11,3		OK	
Kroucení									
MSÚZ ST(6)(63)	-28333,6	6588,0	-3,9	-58,9	480,8	10,5		OK	

Projekt:
Číslo projektu:
Autor:

Příloha: Statický výpočet



Kombinace	N_{Ed} [kN]	$M_{Ed,y}$ [kNm]	$M_{Ed,z}$ [kNm]	V_{Ed} [kN]	T_{Ed} [kNm]	Hodnota [%]	Posudek
Interakce							
MSÚZ ST(6)(21)	-28943,0	9384,7	-3,4	-33,4	419,4	84,9	OK
Omezení napětí							
MSPCh ST(6)(40)	-28375,5	6155,0	-2,5	-42,7	310,6	87,6	OK
Šířka trhliny							
MSPK ST(6)(60)	-24027,7	1625,7	0,0	-58,7	0,0	15,5	OK
Křehký lom							
MSPČ ST(6)(50)	-27975,1	4161,5	-1,5	-49,1	188,8	38,2	OK

Upozornění

	Typ posudku	Upozornění
	Únosnost N-M-M, Smyk, Kroucení, Interakce, Omezení napětí, Šířka trhliny, Křehký lom	Neočekávaná poloha výztužných vložek, jejich světlá vzdálenost je záporná hodnota
	Smyk	Pro posouzení smyku byla použita výchozí hodnota účinné výšky průřezu (z nastavení normy)
	Smyk	Pro posouzení smyku byla použita výchozí hodnota ramene vnitřních sil (z nastavení normy)
	Smyk	Smyk je přenesen betonem, smyková výztuž je požadována z hlediska konstrukčních zásad, viz 6.2.2
	Omezení napětí	Nebyla zadána zatížení pro kvazistálou kombinaci zatížení. Posudek omezení napětí podle článku 7.2 (3) nebyl proveden.
	Omezení napětí, Šířka trhliny	Horní nebo dolní návrhová hodnota vnitřních sil v řezu u jedné z kombinací MSP vyvodila napětí betonu v tahu větší, než je pevnost betonu v tahu (průřez je potrhán). Na základě nastavení výpočtu se proto předpokládá vyloučení působení betonu v tahu v posudcích MSP pro všechny kombinace daného extrému. Předpoklady výpočtu pro posudky MSP v rámci jiného extrému daného řezu nejsou ovlivněny.
	Omezení napětí	Beton v tahu je vyloučen z působení, protože je průřez porušen trhlínami, viz čl. 7.1 (2)
	Křehký lom	Sekundární účinky předpětí jsou přepočteny proporcionálně k redukované ploše předpínací výztuže

Kritické kombinace vybrané pro posouzení řezů

Kombinace	Popis kritických účinků zatížení
MSÚZ ST(6) (12)	$R (2) + 1,15 \cdot SW (2) + G (2) + POST (2) + R (5) + 1,15 \cdot OS (5) + 0,9 \cdot T_{ner-} + 1,35 \cdot UDL + 1,35 \cdot TS.1 + R (6) + G (6)$
MSÚZ ST(6) (15)	$R (2) + SW (2) + G (2) + POST (2) + R (5) + OS (5) + 0,9 \cdot T_{ner+} + 1,35 \cdot LM3.1 + R (6) + G (6)$
MSÚZ ST(6) (21)	$R (2) + 1,15 \cdot SW (2) + 1,15 \cdot G (2) + POST (2) + R (5) + 1,15 \cdot OS (5) + 0,9 \cdot T_{ner+} + 1,35 \cdot UDL + 1,35 \cdot TS.1 + R (6) + 1,15 \cdot G (6)$
MSÚZ ST(6) (22)	$R (2) + SW (2) + G (2) + POST (2) + R (5) + OS (5) + 1,35 \cdot LM3.1 + R (6) + G (6)$
MSÚZ ST(6) (26)	$R (2) + 1,15 \cdot SW (2) + 1,15 \cdot G (2) + POST (2) + R (5) + 1,15 \cdot OS (5) + 0,9 \cdot T_{ner+} + 1,35 \cdot UDL + 1,35 \cdot TS.2 + R (6) + 1,15 \cdot G (6)$
MSPCh ST(6) (32)	$R (2) + SW (2) + G (2) + POST (2) + R (5) + OS (5) + 0,6 \cdot T_{ner-} + UDL + TS.1 + R (6) + G (6)$
MSPCh ST(6) (40)	$R (2) + SW (2) + G (2) + POST (2) + R (5) + OS (5) + 0,6 \cdot T_{ner+} + UDL + TS.1 + R (6) + G (6)$
MSPČ ST(6) (47)	$R (2) + SW (2) + G (2) + POST (2) + R (5) + OS (5) + 0,5 \cdot T_{ner-} + 0,4 \cdot UDL + 0,75 \cdot TS.1 + R (6) + G (6)$
MSPČ ST(6) (50)	$R (2) + SW (2) + G (2) + POST (2) + R (5) + OS (5) + 0,5 \cdot T_{ner+} + 0,4 \cdot UDL + 0,75 \cdot TS.1 + R (6) + G (6)$

Projekt:
Číslo projektu:
Autor:

Příloha: Statický výpočet



Kombinace	Popis kritických účinků zatížení
MSPK ST(6) (60)	R (2) + SW (2) + G (2) + POST (2) + R (5) + OS (5) + 0,5*Tner+ + R (6) + G (6)
MSÚZ ST(6) (63)	R (2) + 1,15*SW (2) + 1,15*G (2) + POST (2) + R (5) + 1,15*OS (5) + 0,9*Tner+ + 1,35*LM3.2 + R (6) + 1,15*G (6)

Příčná stabilita

Výkaz materiálů

Délka [m]	Beton			Výztuž [kg]	Celková hmotnost [kg]	Výztuž /m³ betonu [kg/m³]
	Název	[m³]	[kg]			
30,48	C35/45	202,47	506181	14167	520348	70
Φ [mm]	Materiál	Typ vyztužení		Délka [m]	Hmotnost [kg]	
25	B 500B	Výztužné vložky		1222,92	4712	
25	B 500B	Třmínky		761,34	2934	
20	B 500B	Výztužné vložky		1110,00	2737	
20	B 500B	Třmínky		696,20	1717	
14	B 500B	Výztužné vložky		731,52	884	
14	B 500B	Třmínky		978,64	1183	

Posudek příčné stability nebyl proveden. Pravděpodobně není žádný prvek pro posouzení.

Data dimezačních dílců

Typ prvku	Nosník
Stupeň vlivu prostředí	XC3, XD1, XF2
Relativní vlhkost	65 %
Součinitel dotvarování	Vypočtený
Význam nosného prvku	Velký
Redistribuce momentů	Vypnuto
Redukce momentů	Vypnuto
Redukce smykové síly	Vypnuto
Omezený posudek interakce	Vypnuto
Úroveň protikoroziní ochrany	PL1

Projekt:
Číslo projektu:
Autor:

Příloha: Statický výpočet



Zóny vyztužení

Zóna	Začátek [m]	Konec [m]	Délka [m]	Vyztužení	Posudek
1	0,00	7,74	7,74	C-C	Ne
2	7,74	15,24	7,50	D-D	Ne
3	15,24	22,74	7,50	D-D	Ne
4	22,74	30,48	7,74	C-C	Ne

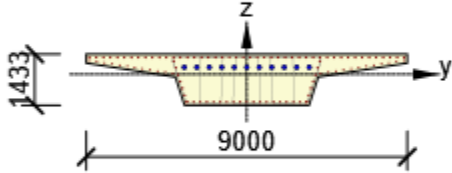
Výztuž pro pozici

Pozice	Vyztužený průřez	Vyztužení
Řez 2 (1,40m Vlevo), Řez 2 (1,40m Vpravo)		<p>Výztuž:</p> <p>46\varnothing25 (22580mm²) (B 500B), z = 491 mm 2\varnothing14 (308mm²) (B 500B), z = 408 mm 2\varnothing25 (982mm²) (B 500B), z = 388 mm 2\varnothing14 (308mm²) (B 500B), z = 374 mm 2\varnothing14 (308mm²) (B 500B), z = 341 mm 2\varnothing14 (308mm²) (B 500B), z = 308 mm 2\varnothing14 (308mm²) (B 500B), z = 275 mm 2\varnothing14 (308mm²) (B 500B), z = 242 mm 2\varnothing14 (308mm²) (B 500B), z = 208 mm 2\varnothing25 (982mm²) (B 500B), z = 190 mm 2\varnothing14 (308mm²) (B 500B), z = 175 mm 2\varnothing14 (308mm²) (B 500B), z = 142 mm 2\varnothing14 (308mm²) (B 500B), z = 109 mm 2\varnothing14 (308mm²) (B 500B), z = 76 mm 2\varnothing14 (308mm²) (B 500B), z = 42 mm 2\varnothing25 (982mm²) (B 500B), z = -8 mm 2\varnothing25 (982mm²) (B 500B), z = -205 mm 2\varnothing25 (982mm²) (B 500B), z = -403 mm 2\varnothing25 (982mm²) (B 500B), z = -601 mm 21\varnothing25 (10308mm²) (B 500B), z = -799 mm</p> <p>Třmínky:</p> <p>\varnothing25 (B 500B) - 200 mm, uzavřený, pro posouzení kroucení \varnothing14 (B 500B) - 200 mm \varnothing14 (B 500B) - 200 mm \varnothing14 (B 500B) - 200 mm</p> <p>Kabely:</p> <p>11*19\varnothing15,7 (2850mm²) (Y1860S7-15.7), z = 236 mm</p>

Projekt:
Číslo projektu:
Autor:

Příloha: Statický výpočet

IDEA StatiCa®
Calculate yesterday's estimates

Pozice	Vyztužený průřez	Vyztužení
Řez 8 (2,00m)		<p>Výztuž:</p> <p>46\varnothing25 (22580mm²) (B 500B), z = 475 mm 2\varnothing14 (308mm²) (B 500B), z = 391 mm 2\varnothing25 (982mm²) (B 500B), z = 372 mm 2\varnothing14 (308mm²) (B 500B), z = 358 mm 2\varnothing14 (308mm²) (B 500B), z = 325 mm 2\varnothing14 (308mm²) (B 500B), z = 292 mm 2\varnothing14 (308mm²) (B 500B), z = 259 mm 2\varnothing14 (308mm²) (B 500B), z = 226 mm 2\varnothing14 (308mm²) (B 500B), z = 192 mm 2\varnothing25 (982mm²) (B 500B), z = 181 mm 2\varnothing14 (308mm²) (B 500B), z = 159 mm 2\varnothing14 (308mm²) (B 500B), z = 126 mm 2\varnothing14 (308mm²) (B 500B), z = 93 mm 2\varnothing14 (308mm²) (B 500B), z = 60 mm 2\varnothing14 (308mm²) (B 500B), z = 26 mm 2\varnothing25 (982mm²) (B 500B), z = -10 mm 2\varnothing25 (982mm²) (B 500B), z = -201 mm 2\varnothing25 (982mm²) (B 500B), z = -392 mm 2\varnothing25 (982mm²) (B 500B), z = -583 mm 21\varnothing25 (10308mm²) (B 500B), z = -774 mm</p> <p>Třmínky:</p> <p>\varnothing25 (B 500B) - 200 mm, uzavřený, pro posouzení kroucení \varnothing14 (B 500B) - 200 mm \varnothing14 (B 500B) - 200 mm \varnothing14 (B 500B) - 200 mm</p> <p>Kabely:</p> <p>11*19\varnothing15,7 (2850mm²) (Y1860S7-15.7), z = 199 mm</p>

Projekt:
Číslo projektu:
Autor:

Příloha: Statický výpočet



Pozice	Vyztužený průřez	Vyztužení
Řez 7 (15,14m)		<p>Výztuž:</p> <p>45ø20 (14137mm²) (B 500B), z = 267 mm 1ø14 (154mm²) (B 500B), Pozice -4412, 182 mm 1ø14 (154mm²) (B 500B), Pozice 4413, 182 mm 2ø20 (628mm²) (B 500B), z = 163 mm 1ø14 (154mm²) (B 500B), Pozice -4200, 148 mm 1ø14 (154mm²) (B 500B), Pozice 4200, 148 mm 1ø14 (154mm²) (B 500B), Pozice -3987, 115 mm 1ø14 (154mm²) (B 500B), Pozice 3987, 115 mm 1ø14 (154mm²) (B 500B), Pozice -3774, 82 mm 1ø14 (154mm²) (B 500B), Pozice 3774, 82 mm 1ø14 (154mm²) (B 500B), Pozice -3561, 49 mm 1ø14 (154mm²) (B 500B), Pozice 3562, 49 mm 2ø20 (628mm²) (B 500B), z = 16 mm 1ø14 (154mm²) (B 500B), Pozice -3348, 16 mm 1ø14 (154mm²) (B 500B), Pozice 3349, 16 mm 1ø14 (154mm²) (B 500B), Pozice -3136, -18 mm 1ø14 (154mm²) (B 500B), Pozice 3136, -18 mm 1ø14 (154mm²) (B 500B), Pozice -2923, -51 mm 1ø14 (154mm²) (B 500B), Pozice 2923, -51 mm 1ø14 (154mm²) (B 500B), Pozice -2710, -84 mm 1ø14 (154mm²) (B 500B), Pozice 2710, -84 mm 1ø14 (154mm²) (B 500B), Pozice -2497, -117 mm 1ø14 (154mm²) (B 500B), Pozice 2497, -117 mm 2ø20 (628mm²) (B 500B), z = -131 mm 1ø14 (154mm²) (B 500B), Pozice -2284, -150 mm 1ø14 (154mm²) (B 500B), Pozice 2284, -150 mm 1ø14 (154mm²) (B 500B), Pozice -2072, -184 mm 1ø14 (154mm²) (B 500B), Pozice 2072, -184 mm 2ø20 (628mm²) (B 500B), z = -278 mm 21ø20 (6597mm²) (B 500B), z = -425 mm</p> <p>Třmínky:</p> <p>ø20 (B 500B) - 200 mm, uzavřený, pro posouzení kroucení ø14 (B 500B) - 400 mm ø14 (B 500B) - 400 mm ø14 (B 500B) - 400 mm</p> <p>Kabely:</p> <p>11*19ø15,7 (2850mm²) (Y1860S7-15.7), z = -342 mm</p>

Materiál výztuže

Název	f_{yk} [MPa]	f_{tk} [MPa]	E [MPa]	μ [-]	Jednotková hmotnost [kg/m ³]
B 500B	500,0	540,0	200000,0	0,20	7850
$f_{tk}/f_{yk} = 1,08, \epsilon_{uk} = 500,0 \cdot 10^{-4}$, Typ: Vložky, Povrch výztuže: Žebírkový, Třída: B, Výroba: Za tepla válcovaná, Typ diagramu: Bilineární se stoupající horní větví					

6 Příčný směr

VNITŘNÍ SÍLY V PŘÍČNÉM SMĚRU

		Vetknutí		"d" od podpory	
		M [kNm]	V [kNm]	M [kNm]	V [kNm]
MSÚ 6.10b	gr1a	-323.50	-	-201.20	-165.00
MSP Char	gr1a	-254.00	-	-158.00	-128.00
MSP Kvazi	gr1a	-102.50	-	-59.00	-38.40

Projekt: -- nezadáno --

Projekt číslo:

Autor: -- nezadáno --

Obsah

1 Data projektu
 2 Stručné shrnutí výsledků posouzení řezů
 3 Posouzení řezů
 3.1 Řez Konzola - vetknutí
 3.2 Řez Konzola - "d" od podpory

1 Data projektu

Název projektu -- nezadáno --

Autor -- nezadáno --

Datum vytvoření protokolu 09.06.2020

Národní norma

Národní norma	EN 1992-1-1:2014-12, CSN:2016-04/NA:2012-01 EN 1992-2:2008-07, CSN:2014-01/NA:2014-10
Návrhová životnost	100 let

2 Stručné shrnutí výsledků posouzení řezů

Dimenzační dílec	Počet řezů	Název extrémního řezu	Využití [%]	Status posudku
M 1 (Nosník)	1	Konzola - vetknutí	48,6	✓
M 2 (Nosník)	1	Konzola - "d" od podpory	69,9	✓

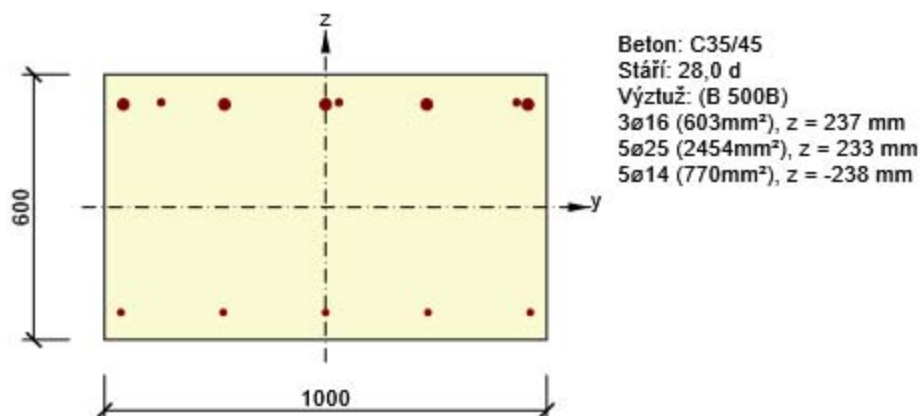
Název řezu	Dimenzační dílec	Vyztužený průřez	Využití [%]	Status posudku
Konzola - vetknutí	M 1 (Nosník)	R 1	48,6	✓
Konzola - "d" od podpory	M 2 (Nosník)	R 2	69,9	✓

3 Posouzení řezů

3.1 Řez Konzola - vetknutí

3.1.1 Extrém Vetknutí

Dimenzační dílec	M 1
Vyztužený průřez	R 1



3.1.1.1 Souhrn

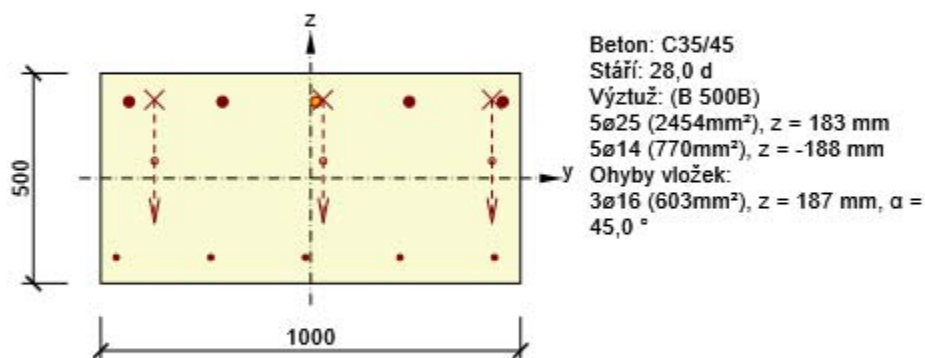
Rozhodující typ posudku	N_{Ed} [kN]	$M_{Ed,y}$ [kNm]	$M_{Ed,z}$ [kNm]	V_{Ed} [kN]	T_{Ed} [kNm]	Hodnota [%]	Posudek
Únosnost N-M-M	0,0	-323,5	0,0			48,6	OK
Typ posudku	N_{Ed} [kN]	$M_{Ed,y}$ [kNm]	$M_{Ed,z}$ [kNm]	V_{Ed} [kN]	T_{Ed} [kNm]	Hodnota [%]	Posudek
Únosnost N-M-M	0,0	-323,5	0,0			48,6	OK
Smyk	0,0			0,0	0,0	0,0	OK
Kroucení					0,0	0,0	OK
Interakce	0,0	-323,5	0,0	0,0	0,0	0,0	OK
Omezení napětí	0,0	-254,0	0,0			44,5	OK
Šířka trhliny	0,0	-102,5	0,0			32,0	OK

Mezní hodnota využití průřezu: 100,0 %

3.2 Řez Konzola - "d" od podpory

3.2.1 Extrém "d" od podpory

Dimenzační dílec	M 2
Vyztužený průřez	R 2



3.2.1.1 Souhrn

Rozhodující typ posudku	N_{Ed} [kN]	$M_{Ed,y}$ [kNm]	$M_{Ed,z}$ [kNm]	V_{Ed} [kN]	T_{Ed} [kNm]	Hodnota [%]	Posudek
Smyk	0,0			165,0	0,0	69,9	OK
Typ posudku	N_{Ed} [kN]	$M_{Ed,y}$ [kNm]	$M_{Ed,z}$ [kNm]	V_{Ed} [kN]	T_{Ed} [kNm]	Hodnota [%]	Posudek
Únosnost N-M-M	0,0	-201,2	0,0			46,5	OK
Smyk	0,0			165,0	0,0	69,9	OK
Kroucení					0,0	0,0	OK
Interakce	0,0	-201,2	0,0	165,0	0,0	63,1	OK
Omezení napětí	0,0	-158,0	0,0			40,6	OK
Šířka trhliny	0,0	-59,0	0,0			30,9	OK

Mezní hodnota využití průřezu: 100,0 %

7 STĚNA

- vnitřní síly pro posouzení STĚNY U PŘÍČLE

Charakteristické hodnoty

Stěna	VI. Tíha + OS + T heat	gr1a - 6.10a	gr1a -6.10b	gr5 -6.10b
	My [kNm]	My [kNm]	My [kNm]	My [kNm]
	-2181.0	-663.0	-1127.0	-793.0

VNITŘNÍ SÍLY

MSP Kvazi

My [kNm]
-2181.0

MSP Char

gr1a
My [kNm]
-3308.0

Návrhové hodnoty

6.10
My [kNm]
-4465.8

Projekt: -- nezadáno --

Projekt číslo:

Autor: -- nezadáno --

Obsah

1 Data projektu
2 Stručné shrnutí výsledků posouzení řezů
3 Posouzení řezů
3.1 Řez Stěna

1 Data projektu

Název projektu -- nezadáno --
Autor -- nezadáno --
Datum vytvoření protokolu 09.06.2020

Národní norma

Národní norma	EN 1992-1-1:2014-12, CSN:2016-04/NA:2012-01 EN 1992-2:2008-07, CSN:2014-01/NA:2014-10
Návrhová životnost	100 let

2 Stručné shrnutí výsledků posouzení řezů

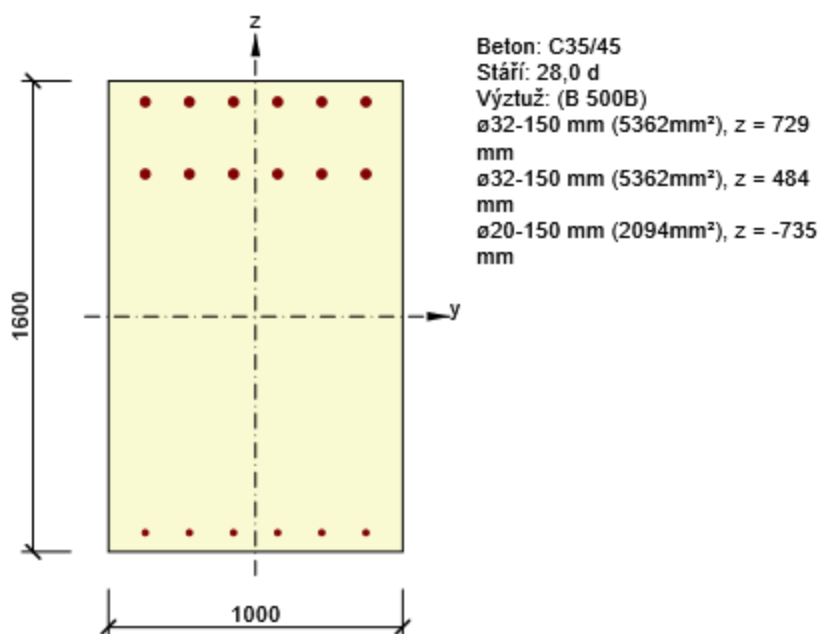
Název řezu	Dimenzační dílec	Vyztužený průřez	Využití [%]	Status posudku
Stěna	M 1 (Nosník)	R 1	93,7	✓

3 Posouzení řezů

3.1 Řez Stěna

3.1.1 Extrém Vetknutí

Dimenzační dílec	M 1
Vyztužený průřez	R 1

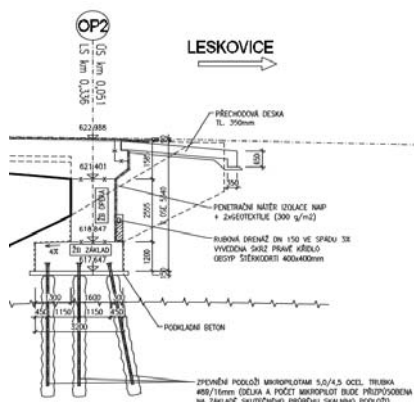


3.1.1.1 Souhrn

Rozhodující typ posudku	N_{Ed} [kN]	$M_{Ed,y}$ [kNm]	$M_{Ed,z}$ [kNm]	V_{Ed} [kN]	T_{Ed} [kNm]	Hodnota [%]	Posudek
Šířka trhliny	0,0	-2181,0	0,0			93,7	OK
Typ posudku	N_{Ed} [kN]	$M_{Ed,y}$ [kNm]	$M_{Ed,z}$ [kNm]	V_{Ed} [kN]	T_{Ed} [kNm]	Hodnota [%]	Posudek
Únosnost N-M-M	0,0	-4465,8	0,0			72,6	OK
Smyk	0,0			0,0	0,0	0,0	OK
Kroucení					0,0	0,0	OK
Interakce	0,0	-4465,8	0,0	0,0	0,0	0,0	OK
Omezení napětí	0,0	-3308,0	0,0			69,4	OK
Šířka trhliny	0,0	-2181,0	0,0			93,7	OK

Mezní hodnota využití průřezu: 100,0 %

h [m]	σ_H [kN/m ²]
0.100	1.00
4.200	42.00



Model zatížení	Druh zatížení	Náhradní plocha
LM1	Dvojnáprava (TS)	3,0 × 5,0 m
LM3	Vozidlo 900/150	3,0 × 8,0 m
	Vozidlo 1800/200	3,0 × 14,0 m
	Vozidlo 3000/240	4,5 × 19,0 m

$$\begin{aligned}\sigma_{V1} &= 36.1 \text{ kN/m}^2 \\ \sigma_{H1} &= 18.0 \text{ kN/m}^2 \\ \sigma_{V2} &= 9.1 \text{ kN/m}^2 \\ \sigma_{H2} &= 4.5 \text{ kN/m}^2\end{aligned}$$
$$\begin{aligned}\sigma_{V1} &= 8.2 \text{ kN/m}^2 \\ \sigma_{H1} &= 4.1 \text{ kN/m}^2 \\ \sigma_{V2} &= 2.1 \text{ kN/m}^2 \\ \sigma_{H2} &= 1.1 \text{ kN/m}^2\end{aligned}$$

Křídlo	D = 1,35*(A+B)+1,35*(C)		E = (A+B)+(C)		F = (A+B)	
	MSÚ		MSP - Char		MSP - Kvazi	
	m _{xD} [kNm]	v _x [kN]	m _{xD} [kNm]	v _x [kN]	m _{xD} [kNm]	v _x [kN]
Křídlo - ve vetknutí	245.4	173.1	189.5	-	80.7	-

Projekt: -- nezadáno --

Projekt číslo:

Autor: -- nezadáno --

Obsah

1 Data projektu
2 Stručné shrnutí výsledků posouzení řezů
3 Posouzení řezů
3.1 Řez Křídlo

1 Data projektu

Název projektu -- nezadáno --
Autor -- nezadáno --
Datum vytvoření protokolu 09.06.2020

Národní norma

Národní norma	EN 1992-1-1:2014-12, CSN:2016-04/NA:2012-01 EN 1992-2:2008-07, CSN:2014-01/NA:2014-10
Návrhová životnost	100 let

2 Stručné shrnutí výsledků posouzení řezů

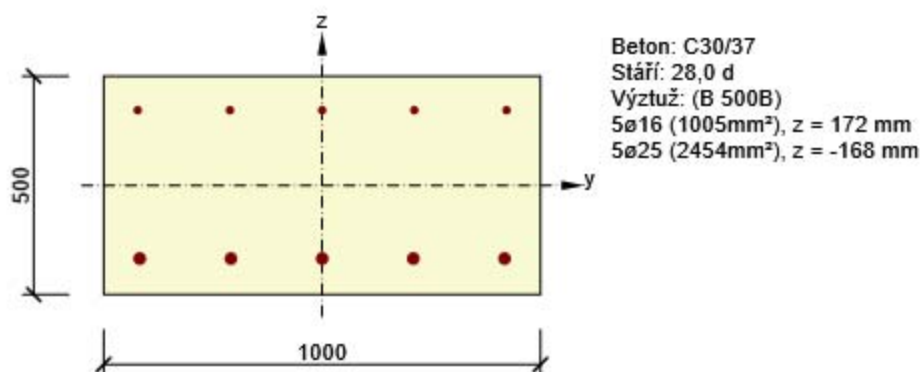
Název řezu	Dimenzační dílec	Vyztužený průřez	Využití [%]	Status posudku
Křídlo	M 1 (Nosník)	R 1	78,4	✓

3 Posouzení řezů

3.1 Řez Křídlo

3.1.1 Extrém Vetknutí

Dimenzační dílec	M 1
Vyztužený průřez	R 1



3.1.1.1 Souhrn

Rozhodující typ posudku	N_{Ed} [kN]	$M_{Ed,y}$ [kNm]	$M_{Ed,z}$ [kNm]	V_{Ed} [kN]	T_{Ed} [kNm]	Hodnota [%]	Posudek
Smyk	0,0			173,1	0,0	78,4	OK
Typ posudku	N_{Ed} [kN]	$M_{Ed,y}$ [kNm]	$M_{Ed,z}$ [kNm]	V_{Ed} [kN]	T_{Ed} [kNm]	Hodnota [%]	Posudek
Únosnost N-M-M	0,0	245,4	0,0			59,4	OK
Smyk	0,0			173,1	0,0	78,4	OK
Kroucení					0,0	0,0	OK
Interakce	0,0	245,4	0,0	173,1	0,0	78,4	OK
Omezení napětí	0,0	189,5	0,0			55,3	OK
Šířka trhliny	0,0	80,7	0,0			45,3	OK

Mezní hodnota využití průřezu: 100,0 %

Výpočet Mikropiloty

Vstupní data

Projekt

Datum : 08.06.2020

Nastavení

Standardní - EN 1997 - DA2

Materiály a normy

Betonové konstrukce : EN 1992-1-1 (EC2)
 Součinitele EN 1992-1-1 : standardní
 Ocelové konstrukce : EN 1993-1-1 (EC3)
 Dílčí součinitel únosnosti ocelového průřezu : $\gamma_{M0} = 1,00$

Mikropiloty

Výpočet únosnosti dřívku : geometrická (Eulerova) metoda
 Výpočet únosnosti kořene : metoda Lizziho
 Metodika posouzení : mezní stavy

Součinitele redukce parametrů zemin			
Trvalá návrhová situace			
Součinitel redukce úhlu vnitřního tření :	$\gamma_{m\phi} =$	1,25	[-]
Součinitel redukce soudržnosti :	$\gamma_{mc} =$	1,40	[-]
Součinitel redukce kritické síly :	$\gamma_{mf} =$	1,00	[-]
Součinitel spolehlivosti cementové směsi :	$\gamma_{sc} =$	1,50	[-]
Součinitel spolehlivosti oceli :	$\gamma_{ss} =$	1,50	[-]
Součinitel redukce únosnosti kořene :	$\gamma_r =$	1,50	[-]

Parametry zemin

Třída G1, ulehlá

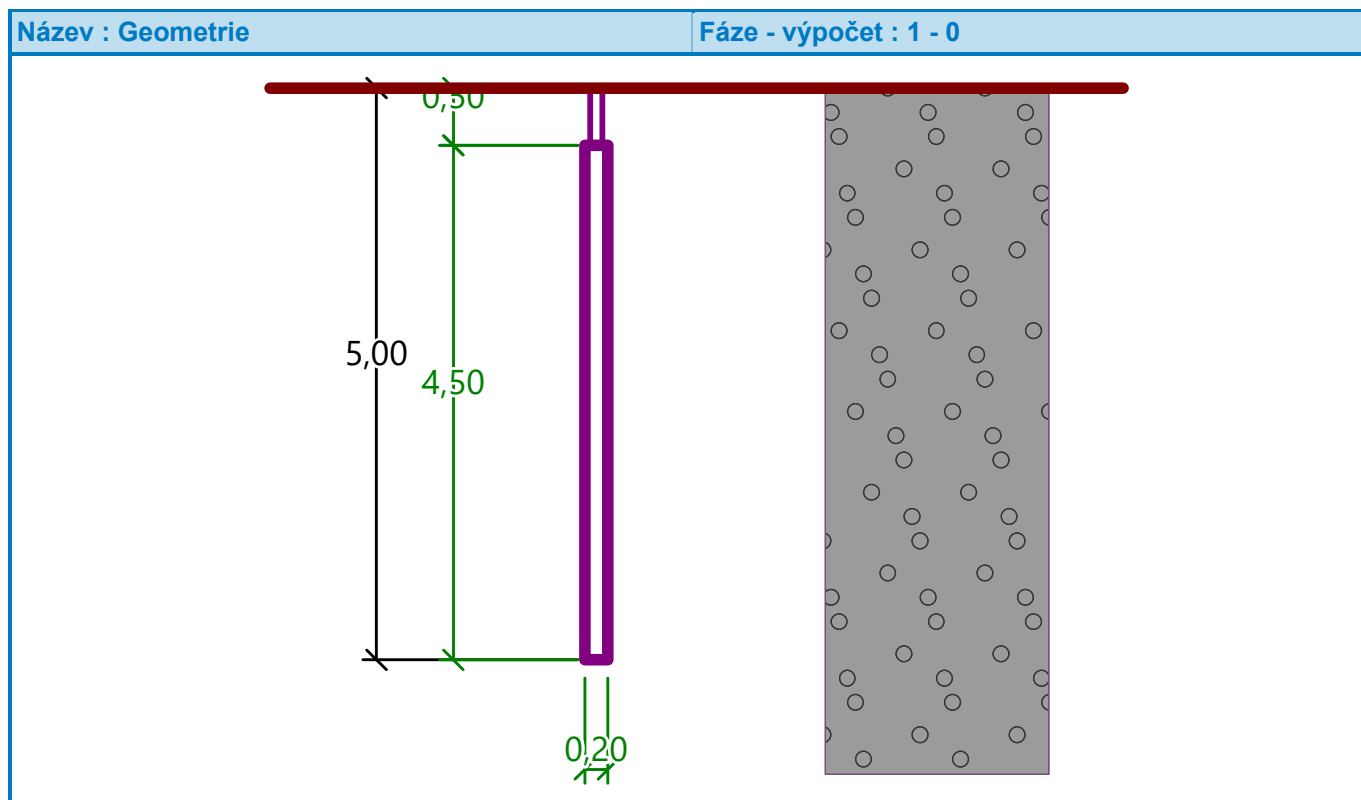
Objemová tíha : $\gamma = 21,00 \text{ kN/m}^3$
 Úhel vnitřního tření : $\phi_{ef} = 41,50^\circ$
 Soudržnost zeminy : $c_{ef} = 0,00 \text{ kPa}$
 Obj.tíha sat.zeminy : $\gamma_{sat} = 21,00 \text{ kN/m}^3$

Geometrie

Průměr = 108,0 mm
 Tloušťka stěny = 16,0 mm

Volná délka mikropiloty $l = 0,50 \text{ m}$
 Délka kořene $l_r = 4,50 \text{ m}$
 Průměr kořene $d_r = 0,20 \text{ m}$

Odklon mikropiloty od svislice $\alpha = 0,00^\circ$
 Vysazení mikropiloty nad terén $l_a = 0,00 \text{ m}$



Materiál konstrukce

Objemová tíha $\gamma = 23,00 \text{ kN/m}^3$

Výpočet betonových konstrukcí proveden podle normy EN 1992-1-1 (EC2).

Beton : C 20/25

Válcová pevnost v tlaku $f_{ck} = 20,00 \text{ MPa}$

Modul pružnosti $E_{cm} = 30000,00 \text{ MPa}$

Ocel konstrukční: EN 10210-1 : S 355

Mez kluzu $f_y = 355,00 \text{ MPa}$

Modul pružnosti $E = 210000,00 \text{ MPa}$

Geologický profil a přiřazení zemin

Číslo	Mocnost vrstvy t [m]	Hloubka z [m]	Přiřazená zemina	Vzorek
1	-	0,00 .. ∞	Třída G1, ulehlá	

Zatížení

Číslo	Zatížení		Název	Síla N [kN]	Moment M [kNm]
	nové	změna			
1	Ano		Zatížení č. 1	508,60	-24,30

Posouzení čís. 1**Posouzení průřezu 1**

Výpočet proveden s automatickým výběrem nejnepríznivějších zatěžovacích stavů.

Posouzení vnitřní stability průřezu: geometrická (Eulerova) metoda

Výpočet vzpěrné délky průřezu - uložení (kloub-vetknuti).

Modul reakce podloží $E_p = 20,00 \text{ MN/m}^3$

Spočtený počet půlvln $n = 0,38$

Vzpěrná délka $l_{cr} = 0,35 \text{ m}$

Kritická normálová síla $N_{crd} = 87512,09 \text{ kN}$

Maximální normálová síla $N_{max} = 508,60 \text{ kN}$

Vnitřní stabilita průřezu mikropiloty VYHOVUJE**Posouzení únosnosti spřaženého průřezu:**

Plocha ideálního průřezu $A_i = 5,27E+03 \text{ mm}^2$

Moment setrvačnosti ideálního průřezu $J_i = 5,27E+06 \text{ mm}^4$

Štíhlost prutu $\lambda = 11,175$

Součinitel vzpěrnosti $\kappa = 0,996$

Úroveň neutrálné osy $= 28,9 \text{ mm}$

Napětí v oceli $= 227,08 \text{ MPa}$

Výpočtová pevnost oceli $= 236,67 \text{ MPa}$

Spřažený průřez mikropiloty VYHOVUJE**Posouzení čís. 1****Posouzení kořene**

Způsob výpočtu - metoda Lizzího.

Součinitel vlivu průměru kořene $= 0,85$

Průměrné mezní plášťové tření $q_{sav} = 400,00 \text{ kPa}$

Posouzení tlačené mikropiloty

Únosnost pláště mikropiloty $R_s = 961,33 \text{ kN}$

Výpočtová únosnost kořene mikropiloty $R_d = 640,88 \text{ kN}$

Maximální normálová síla $N_{max} = 508,60 \text{ kN}$

Únosnost tlačené mikropiloty VYHOVUJE

10 Závěr

Statickým výpočtem bylo prokázáno, že konstrukce mostu jako celek i všechny její části mají požadovanou bezpečnost a dostatečnou tuhost podle platných norem pro navrhování uvedených v kapitole 1. Takto bylo prokázáno, že konstrukce vyhovuje jak požadavkům na únosnost mostní konstrukce, tak požadavkům na omezení napětí v betonu a výztuži. Byla ověřena i šířka trhlin.

5/2020



Ing. Rostislav Otevřel